

# Physique numérique

## analyse et présentation des données, programmation

Dmitriï Sadovskiï

*Département de physique, Université du Littoral*

e-mail: [sadovski@univ-littoral.fr](mailto:sadovski@univ-littoral.fr), web: <http://pca3.univ-littoral.fr/~sadovski>

Anton Sokolov

*Département de physique, Université du Littoral*

e-mail: [Anton.Sokolov@univ-littoral.fr](mailto:Anton.Sokolov@univ-littoral.fr)

Calais, automne 2015

## Horaires

**cours-TD-TP** 13 séances de 3h

## Contenu des cours

Ce module est destiné aux étudiants de la troisième année en licence sciences avec option physique à Calais. Il aura les thèmes principales suivantes.

1. introductions, notions de base sur l'architecture des ordinateurs, systèmes d'exploitation, structures de représentation des données, etc
2. solution des systèmes des équations linéaires, méthode de Gauss. L'aspect pratique : développer une programme (TP-1) en utilisant le logiciel Maple V. 3.
3. traitement des données et notions essentielles de statistique telles, que distribution Gaussienne, écart standard, corrélations, intervalle de confiance, etc.
4. méthode des moindres carrées (mmc). Estimation des incertitudes. L'aspect pratique : on utilise les formules statistiques et la MMC pour la présentation des résultats des TP possiblement aidée par l'informatique. On applique la mmc pour modéliser les données sur les masses atomiques (TP-2), voir cours de Prof. Boris Zhilinskiï.
5. problèmes de stabilité, problèmes mal définis ou insuffisants, décomposition selon les valeurs singulières (svd)
6. équations nonlinéaires, méthodes itératives (itération de Gauss, TP-3), linéarisation suivie par une itération mmc
7. solution numérique des équations différentielles ordinaires, intégrateurs, méthode Runge-Kutta, problème de Cauchy. L'aspect pratique : TP-4, équations de mouvement dans le potentiel Lennard-Jones (en collaboration avec Prof. Hadj Sarahoui et autres).
8. transformation de Fourier directe (DFT), inverse, rapide (FFT). Filtrage. L'aspect pratique : écrire une programme DFT (TP-6); analyser la solution des équations de mouvement obtenue précédemment.
9. calcul matriciel : diagonalisation, orthogonalisation, inversion. TP-7 : diagonalisation des matrices symétriques par la méthode de Jacobi.

## Modalités de contrôles des connaissances

En TD les étudiants passent au tableau. Les TP ont lieu en salle des ordinateurs; les étudiants doivent y posséder un compte avec l'accès au logiciel Maple V. 3. Les comptes rendus de TP sont notés sur 5 (soit 20 points max); ils sont dus à la fin de la séance TP, ou, exceptionnellement, au prochain TP. Ils représentent essentiellement les texte des programmes

en Maple V. 3 avec des commentaires imprimés en TP. Il n'y a pas de partiel écrit au mi-cours. A sa place on a un projet commun avec l'enseignant du cours de vibrations. Ce projet est présenté en oral et noté sur 20. L'examen est noté sur 20, la note finale est définie avec le règle du sup contre la moyenne projet+TP.

## Bilan des compétences

La théorie sera vraiment de base, accessible à tous, qui essayent de travailler sérieusement. L'idée est d'apprendre et maîtriser surtout l'aspect physique d'application des formules et notions expliqués en cours et TD.

## 1 Introduction

L'idée du cours. Le rôle organisateur de la thème «équations linéaires». Le projet de mi-parcours.

## Ressources et bibliographie sur Maple

1. *Vérison de démonstration de Maple V. 3* sur le site de MapleSoft, la société qui édite Maple : <ftp://ftp.maplesoft.com/pub> puis suivre selon le système d'exploitation que l'on utilise.
2. *Maple V. First leaves : A Tutorial Introduction to Maple V.* ISBN : 3540976213, Waterloo Maple. 1992 (en anglais)
3. *Poly sur Maple* par Raphaël Giromini <http://usenet.alea.net/entraide/rg/maple/poly.pdf>
4. *Quelques feuilles de Maple — Maple expliqué en français* par Jean Charles Canonne (Université de Valenciennes) <http://perso.orange.fr/jeancharles.canonne/sommaire1.html>
5. *Notes de cours sur Maple 6, 7 et 8 (janvier 2004) en français* par Claude Gomez (INRIA, Rocquencourt) <http://www-rocq.inr>
6. *Computational Physics using Maple* par Marko Horbatsch (York University) <http://www.yorku.ca/marko/ComPhys>

## Ressources et bibliographie sur Maxima

1. *Aide-Mémoire pour Maxima* <http://michel.gosse.free.fr/documentation/fichiers/aidememoireaxima.pdf>
2. *Introduction à Maxima* par H. Hand, traduite par M. Gosse <http://michel.gosse.free.fr/documentation/fichiers/i>
3. *The Maxima Book* par De Souza, Fateman, Moses, Yapp <http://michel.gosse.free.fr/documentation/fichiers/max>

## 2 Architecture des ordinateurs

### 3 Statistiques, analyse des données

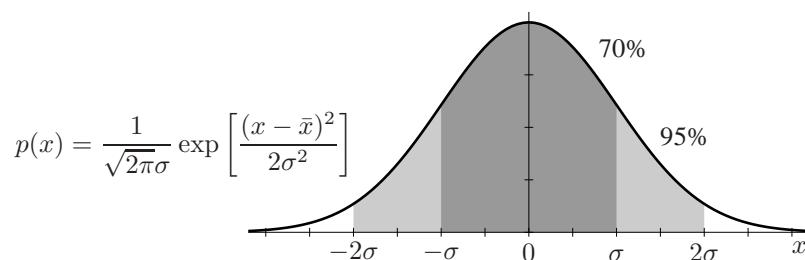
#### 3.1 Erreurs systématiques et accidentelles

**Systématiques :** Ces erreurs sont indépendantes de l'opérateur et échappent en partie son contrôle. Comme leur nom l'indique, elles faussent la mesure toujours dans même sens mais on ne les connaît pas. Elles sont souvent difficiles à déceler (défauts d'appareillage, mauvaise méthode ...), chaque cas constituant un problème spécifique.

**Accidentelles :** Ces erreurs sont dites aussi *aléatoires* car elles faussent la mesure tantôt dans un sens tantôt dans l'autre, et n'ont pas un caractère répétitif. On peut les minimiser en refaisant un nombre raisonnable des fois la même mesure, en prenant la moyenne des résultats obtenus et en appliquant des méthodes statistiques.

#### 3.2 Présentation statistique des résultats

Soit une grandeur  $x$  à mesurer. Dans le cas le plus fréquent, quand l'incertitude sur  $x$  est une somme de nombreuses contributions faibles et indépendantes,  $x$  a pour la densité de probabilité une distribution gaussienne



avec valeur moyenne  $\bar{x}$  et écart type (ainsi appelé dispersion ou variance)  $\sigma$ . On effectue un nombre fini  $N$  de mesures

$$x_i, \quad i = 1, 2, \dots, N.$$

On prendra

$$x_e = \frac{1}{N} \sum_{i=1}^N x_i \quad (3.1)$$

pour valeur moyenne expérimentale. Évidemment,  $x_e \rightarrow \bar{x}$  quand  $N \rightarrow \infty$ . Notons que  $x_e$  est elle-même une quantité aléatoire avec sa propre moyenne et son écart type

$$\bar{x}_e = \bar{x}, \quad \sigma_{x_e}^2 = \sigma^2 / N.$$

En réalité, ni  $\bar{x}$  ni  $\sigma$  ne sont pas connus ! Alors on prendra

$$\sigma_e^2 = \frac{1}{N-1} \sum_{i=1}^N (x_i - x_e)^2,$$

pour la dispersion expérimentale. Notons, que pour  $N = 1$  la  $\sigma_e$  ne peut pas, évidemment, être déterminée, d'où le facteur  $1/(N-1)$ . Par contre, si  $N \rightarrow \infty$ , nous avons  $\sigma_e \rightarrow \sigma$ . Ce que nous intéresse, c'est l'écart type  $\sigma_{x_e}$ . Lui est donnée par

$$s_{x_e}^2 = \frac{1}{N} \sigma_e^2 = \frac{1}{N(N-1)} \sum_{i=1}^N (x_i - x_e)^2. \quad (3.2)$$

Dans la limite de grands  $N$  nous avons

$$x_e \rightarrow \bar{x}, \quad s_{x_e} \rightarrow \sigma / \sqrt{N}.$$

**Le résultat de la mesure s'écrit :**

$$x = x_e \pm \delta x, \quad \text{avec} \quad \delta x = t_{PN} s_{x_e} \approx t_P \sigma / \sqrt{N}$$

On constate que l'incertitude  $s_{x_e}$  de valeur mesurée  $x_e$  décroît avec  $N$  (améliore) en  $1/\sqrt{N}$ . Par exemple, pour gagner un facteur de 10 sur  $\delta x_e$  il nous faut effectuer 100 fois plus de mesures ... Le facteur correctif  $t_{PN}$  appelé *coefficient de Student* dépend de deux paramètres, le nombre de mesures  $N$  et la probabilité  $P$  avec laquelle la vraie valeur de  $x - x_e$  se trouve dans l'intervalle  $[-\delta x, +\delta x]$  dit *intervalle de confiance*. Pour  $N \rightarrow \infty$  ce facteur tend vers le facteur de sécurité  $t_P$  pour la distribution gaussienne (voir tableau).

valeurs de coefficient correctif de Student $t_{PN}$						
probabilité	nombre de mesures $N$					
$P$	3	5	6	10	$\infty$	
0.70	1.3	1.2	1.2	1.1	1.0	
0.95	4.3	2.8	2.6	2.3	2.0	(règle de $2\sigma$ )
0.99	9.9	4.6	4.0	3.3	2.6	

**Exercice 3.1.** Prenons un exemple concret. On mesure plusieurs fois la concentration  $x$ .

$x_1$	$x_2$	$x_3$	$x_4$	$x_5$	$x_6$
72.361	72.357	72.352	72.346	72.344	72.340

Prenez trois valeurs quelconques ( $N = 3$ ), et toutes les valeurs ( $N = 6$ ). Trouvez la valeur moyenne  $x_e$  et la dispersion dans les deux cas. Chiffrez la valeur de l'incertitude  $\delta x$  pour l'intervalle de confiance de 70% et 95%. Comparez et interprétez vos résultats.

**Écriture de résultat :** Il est inutile d'énoncer une incertitude avec plus que deux chiffres significatifs. Le résultat ne peut avoir plus des chiffres significatifs, que le nombre imposé par son incertitude.

### 3.3 Combinaison des incertitudes

Souvent nous ne pouvons pas mesurer directement la quantité  $y$  en question. On mesure donc un nombre  $K$  des quantités  $(\xi_1, \xi_2, \dots, \xi_K)$  afin de trouver  $y$  comme une fonction de  $(\xi_1, \xi_2, \dots, \xi_K)$ . Supposons, que  $(\xi_1, \xi_2, \dots, \xi_K)$  sont variables aléatoires indépendantes, chacune possédant une distribution de probabilité gaussienne  $p_k(\xi_k)$  avec une moyenne  $\bar{\xi}_k$  et un écart type  $\sigma_k$ ,  $k = 1, \dots, K$ .

**Quelle est la moyenne  $\bar{y}$  et son écart type  $\sigma_y$  ?** Considérons d'abord quelques exemples typiques. Soit  $K = 2$  et

$$y = a\xi_1 \pm b\xi_2, \quad (3.3a)$$

avec des constantes  $a$  et  $b$ . Évidemment

$$\bar{y} = a\bar{\xi}_1 \pm b\bar{\xi}_2. \quad (3.3b)$$

On trouve pour l'écart type de  $y$ , que

$$(\sigma_y)^2 = a^2\sigma_1^2 + b^2\sigma_2^2, \quad \sigma_y \leq |a|\sigma_1 + |b|\sigma_2, \quad \Delta y \leq |a|\Delta\xi_1 + |b|\Delta\xi_2. \quad (3.3c)$$

Soit  $K = 1$  et  $y$  est une fonction lisse  $f$  quelconque de  $\xi_1$ . Dans ce cas on obtient

$$y = f(\xi_1), \quad \bar{y} = f(\bar{\xi}_1), \quad \sigma_y^2 = (f'(\bar{\xi}_1))^2 \sigma_1^2, \quad \text{à condition que } f'(\bar{\xi}_1) = \left. \frac{df}{d\xi_1} \right|_{\bar{\xi}_1} \neq 0. \quad (3.4)$$

En particulier si  $f = \log$  [et donc  $f'(\xi) = 1/\xi$ ] nous avons

$$y = \log(\xi_1), \quad \bar{y} = \log \bar{\xi}_1, \quad \sigma_y^2 = \frac{\sigma_1^2}{\bar{\xi}_1^2}, \quad \Delta y = \frac{\Delta\xi_1}{\bar{\xi}_1}. \quad (3.5)$$

**Exercice 3.2.** En utilisant les règles (3.3c) et (3.5) montrerons le règle des écarts relatifs

$$y = \xi_1^a \xi_2^b \text{ ou } y = \frac{\xi_1^a}{\xi_2^b}, \quad \left( \frac{\sigma_y}{\bar{y}} \right)^2 = a^2 \left( \frac{\sigma_1}{\bar{\xi}_1} \right)^2 + b^2 \left( \frac{\sigma_2}{\bar{\xi}_2} \right)^2 \quad (3.6)$$

**Exercice 3.3.** On a mesuré la période  $T = 2 \times 10^{-3}$  sec d'un signal avec une incertitude relative  $\Delta T/T$  de 2%. Quelle est l'incertitude de la fréquence de ce signal ?

**Donnons enfin le règle général.**

$$y = f(\xi_1, \dots, \xi_K), \quad \sigma_y^2 = \sum_{k=1}^K \left( \left. \frac{\partial f}{\partial \xi_k} \right|_{\bar{\xi}} \right)^2 \sigma_k^2, \quad \sigma_y \leq \sum_{k=1}^K \left| \left. \frac{\partial f}{\partial \xi_k} \right|_{\bar{\xi}} \right| \sigma_k \quad (3.7)$$

où les dérivées *partielles*  $\partial f / \partial \xi_k$  sont calculées dans  $\xi_k = \bar{\xi}_k$ ,  $k = 1, \dots, K$ .

**Exercice 3.4.** Considérez le circuit électrique du diviseur de tension (voir section "Électricité"), avec deux résistances en série de valeurs  $R_1$  et  $R_2$ , et la source de f.e.m.  $\mathcal{E}$ . Trouvez la tension  $U_2$  comme fonction de  $R_1$ ,  $R_2$ , et  $\mathcal{E}$ . En sachant, que les incertitudes relatives de  $R_1$ ,  $R_2$ , et  $\mathcal{E}$  sont de 5%, 10%, et 2%, trouvez l'incertitude relative  $\Delta U_2/U_2$ . Appliquez vos résultats dans le cas  $\mathcal{E} = 10V$ ,  $R_1 = R_2$ .

**Exemples des combinaisons des incertitudes.**

1. En spectrophotométrie (voir TP) on mesure la transmission  $\xi$  d'un échantillon par rapport à la transmission  $\xi_0$  d'une cuve remplie de l'eau pure. On effectue donc *deux* mesures et prend la différence  $\xi_0 - \xi$ . Dans certaines cas, si l'intensité absolue peut être mesurée, on normalise  $1 - \xi/\xi_0$ .
2. Souvent pour déterminer la concentration  $c_A$  d'une substance  $A$  on doit passer par plusieurs étapes de purification, séparation, modification chimique, etc. À chaque étape on ne peut pas contrôler les pertes de  $A$ . Alors, on utilise la méthode du témoignage. On ajoute une substance  $B$  en concentration  $c_B$  connue d'office. Car  $A$  et  $B$  subissent les mêmes transformations en cours de l'analyse, on assume que les pertes de  $A$  et  $B$  sont les mêmes. On détermine les concentrations  $\xi_A$  et  $\xi_B$  après toutes les modifications (par la méthode chromatographique, mass-spectrométrie, spectrophotométrie, etc), et on trouve  $c_A = c_B(\xi_A/\xi_B)$ .

*Démonstration.* (Tous démonstrations sont facultatives.) Notons, que dans les conditions précisées au début de cette section, la fonction de densité de probabilité pour  $y$  est un produit des fonctions individuelles  $p(\xi_k)$ ,

$$p(\xi_1, \dots, \xi_K) = p(\xi_1)p(\xi_2) \cdots p(\xi_K) = \prod_k p(\xi_k),$$

normalisée par l'intégrale

$$\int \cdots \int p(\xi_1, \dots, \xi_K) d\xi_1 \cdots d\xi_K = \int p(\xi_1) d\xi_1 \int p(\xi_2) d\xi_2 \cdots \int p(\xi_K) d\xi_K = 1 \cdot 1 \cdots 1 = 1.$$

Rappelons aussi, que la valeur moyenne  $\bar{f}$  d'une fonction  $f(x)$  d'une variable aléatoire  $x$  avec la densité de probabilité  $p(x)$  est donnée par l'intégrale  $\bar{f} = \int f(x)p(x)dx$ . Dans le cas (3.3) nous avons

$$\bar{y} = \int \int y(\xi_1, \xi_2) d\xi_2 d\xi_1 = a \int \xi_1 d\xi_1 \int d\xi_2 + b \int d\xi_1 \int \xi_2 d\xi_2 = a\bar{\xi}_1 \cdot 1 + 1 \cdot b\bar{\xi}_2.$$

De même façon, on calcule la moyenne de  $(y - \bar{y})^2$  :

$$\overline{(y - \bar{y})^2} = \int \int (y - \bar{y})^2 d\xi_2 d\xi_1 = \int \int [a^2(\xi_1 - \bar{\xi}_1)^2 + b^2(\xi_2 - \bar{\xi}_2)^2 \pm 2ab(\xi_1 - \bar{\xi}_1)(\xi_2 - \bar{\xi}_2)] d\xi_2 d\xi_1$$

Les deux premiers termes donnent les deux termes de (3.3c), le troisième terme est 0 parce que

$$\int \int (\xi_1 - \bar{\xi}_1)(\xi_2 - \bar{\xi}_2) d\xi_2 d\xi_1 = \int (\xi_1 - \bar{\xi}_1) d\xi_1 \int (\xi_2 - \bar{\xi}_2) d\xi_2 = 0 \cdot 0.$$

Dans le cas de (3.4) tenez compte du fait, que la déviation  $|\xi_1 - \bar{\xi}_1|$  est petite et faites développement limité de  $f(\xi_1)$  dans le point  $\bar{\xi}_1$ ,

$$f(\xi_1) \approx f(\bar{\xi}_1) + f'(\bar{\xi}_1)(\xi_1 - \bar{\xi}_1),$$

d'où on obtient immédiatement

$$y - \bar{y} = f(\xi_1) - f(\bar{\xi}_1) \approx f'(\bar{\xi}_1)(\xi_1 - \bar{\xi}_1).$$

Il vous ne reste qu'à prendre la moyenne

$$\overline{(y - \bar{y})^2} = f'(\bar{\xi}_1) \overline{(\xi_1 - \bar{\xi}_1)^2}.$$

□

### 3.4 Méthode des moindres carrés, cas de régression linéaire

On mesure  $y_i$  pour chaque valeur  $x_i$ ,  $i = 1, \dots, N$  de la *variable du contrôle*  $x$ . Pour les valeurs  $y_i$  on estime ces incertitudes  $\Delta y_i$  (ou ces écart types  $\sigma_i$ ). Par exemple, on effectue plusieurs mesures de chaque  $y_i$  et trouve  $\Delta y_i$ , voir sec. 3.2. Dans le cas de *régression* on suppose, que les valeurs de  $x$  sont “exactes”. [En réalité, nous n’avons que  $\Delta x_i \ll \Delta y_i$ .] Le phénomène est décrit par la loi théorique  $y = f(x; \alpha)$ , où  $\alpha = \alpha_1, \alpha_2, \dots$  sont des paramètres phénoménologiques. On cherche alors de déterminer  $\alpha$ , et, bien sûr, les incertitudes  $\Delta \alpha$ . Bien entendu, le nombre des mesures  $N$  doit être plus important que le nombre des paramètres  $\alpha$ .

**L’idée centrale** de la méthode<sup>1</sup> c’est de trouver telles valeurs des paramètres  $\alpha$ , que la déviation moyenne quadratique entre la théorie et l’expérience est au minimum. On cherche donc à minimiser

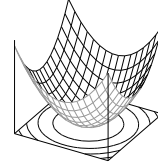
$$F(\alpha) = \sum_{i=1}^N \left( \frac{y_i - f(x_i, \alpha)}{\sigma_i} \right)^2.$$

Ici les écart types  $\sigma_i$  (= les incertitudes à un facteur près) de chaque mesure  $(x_i, y_i)$  jouent le rôle des “poids” : les mesures avec plus précises sont prises en compte plus. Dans le cas *linéaire* où

$$y = f(x) = a_1 x + a_0, \quad \alpha = \{a_1, a_0\}$$

on a *deux* paramètres, et on cherche

$$\min_{a_1, a_0} F(a_1, a_0) = \min_{a_1, a_0} \sum_{i=1}^N \left( \frac{y_i - (a_1 x_i + a_0)}{\sigma_i} \right)^2.$$



En introduisant la notation pour les “moyennes pondérées”<sup>2</sup>

$$[g] := \frac{1}{S} \sum_{i=1}^N \frac{g_i}{\sigma_i^2}, \quad \text{où } S = \sum_{i=1}^N \frac{1}{\sigma_i^2}, \quad \text{et } g_i = x_i, y_i, x_i y_i, x_i^2, \quad (3.8a)$$

on exprime les valeurs de  $a_1$  et  $a_0$ ,

$$a_1 = \frac{[xy] - [x][y]}{[xx] - [x][x]}, \quad a_0 = [y] - [x] a_1, \quad (3.8b)$$

qui minimisent  $F(a_1, a_0)$ . Pour les écart types de deux paramètres on trouve

$$\sigma_{a_1}^2 = \frac{1}{S} \frac{1}{[xx] - [x][x]}, \quad \sigma_{a_0}^2 = \sigma_{a_1}^2 [xx]. \quad (3.8c)$$

Notez, que dans le cas simplifié  $\sigma_i \approx \sigma$  pour tous  $i$  on trouve, que

$$\frac{1}{S} \approx \frac{\sigma^2}{N}.$$

Par conséquent, les incertitudes  $\Delta a_1$  et  $\Delta a_0$  décroissent comme  $1/\sqrt{N}$ . Une fois de plus on retrouve un résultat fondamental que nous avons déjà obtenu dans la sec. 3.2.

*Démonstration.* Dans le minimum de  $F(a_1, a_0)$  on a  $dF = 0$ . On obtient le système de deux équations linéaires avec variables  $(a_1, a_0)$

$$\begin{cases} \frac{\partial F}{\partial a_1} = 0 \\ \frac{\partial F}{\partial a_0} = 0 \end{cases} \Rightarrow \begin{cases} \sum_{i=1}^N x_i (y_i - (a_1 x_i + a_0)) \sigma_i^{-2} = 0 \\ \sum_{i=1}^N (y_i - (a_1 x_i + a_0)) \sigma_i^{-2} = 0 \end{cases} \Rightarrow \begin{cases} [xy] - a_1 [xx] - a_0 [x] = 0 \\ [y] - a_1 [x] - a_0 = 0 \end{cases}$$

dont la solution est donnée par (3.8b). □

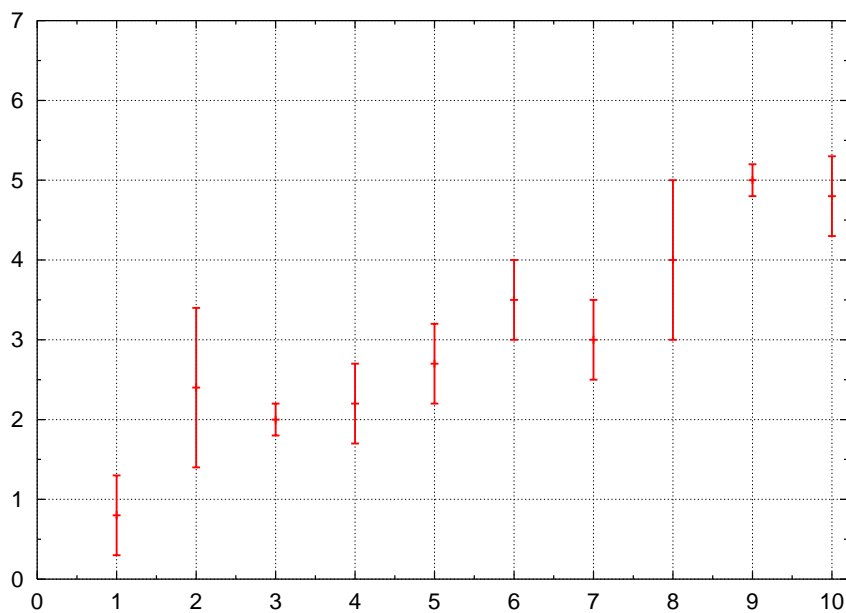
<sup>1</sup>en terminologie anglaise : *least squares fit*

<sup>2</sup>Notez, que dans le cas simplifié, où tous les  $\sigma_i$  sont les mêmes,  $[g]$  devient la valeur moyenne  $\bar{g}$ .

**Exemples d'application de la régression linéaire.**

1. Détermination de la résistance interne  $\rho$  d'une source de tension (voir TP GBF—Schémas équivalents). On mesure la tension  $U$  aux bornes d'une résistance variable  $R$  et le courant  $I$  traversant cette résistance à l'aide d'un voltmètre et un ampèremètre. Par la théorème de Thevenin  $U = U_0 - \rho I$ , où  $U_0$  est la tension "à vide" de la source (voir section "Électricité").
2. Mesure des distances à l'aide d'une résistance variable  $R$  (voir TP Capteur de déplacement). On mis  $R$  sous tension ; la distance  $x$  est une fonction linéaire de la tension  $V$  mesurée entre la borne amovible de  $R$  et la masse. On trouve la droite de calibration  $x(V)$ .
3. Mesure de la température en utilisant une résistance à platine (Pt) ou une thermistance (voir TP Capteurs thermiques). Dans le cas de Pt, la résistance augmente linéairement avec la température  $T^\circ$  ; pour la thermistance la loi est exponentielle et on utilise donc l'échelle logarithmique. Dans les deux cas on obtient le paramètres de la droite de calibration  $R(T^\circ)$ .
4. Spectrophotométrie (voir TP). Détermination des concentrations en utilisant la loi de Beer–Lambert (en échelle logarithmique). On construit la courbe de calibration pour l'intensité  $\mathcal{I}$  de la lumière absorbée en fonction de concentration  $x$  et/ou de la longueur de la cuve  $l$ .

**Exercice 3.5.** Analysez un exemple concret de 10 points expérimentaux présentés sur la figure ci-dessous.



Les valeurs  $(y_i, x_i)$  et les écart types correspondants sont suivants.

$x_i = i$	1	2	3	4	5	6	7	8	9	10
$y_i$	0.8	2.4	2.0	2.2	2.7	3.5	3.0	4.0	5.0	4.8
$\sigma_i$	0.5	1.0	0.2	0.5	0.5	0.5	0.5	1.0	0.2	0.5

En supposant que la loi théorique  $y = f(x)$  est une loi linéaire  $y = a_1 x + a_0$ , trouvez les valeurs des paramètres  $a_1$  et  $a_0$  et leurs incertitudes  $\Delta a_1$  et  $\Delta a_0$ .

**Cas général de régression, forme matricielle.** Soit  $f(x, \alpha)$  une fonction  $C^\infty$  de  $x$  et de paramètres  $\alpha = (\alpha_1, \alpha_2, \dots, \alpha_n)^T$  et  $\alpha^{(0)}$  une valeur quelconque des paramètres, dite *valeur de départ*. Le  $n$ -vecteur de gradient

$$\nabla_\alpha f = \left( \frac{\partial f(x, \alpha)}{\partial \alpha_1}, \frac{\partial f(x, \alpha)}{\partial \alpha_2}, \dots, \frac{\partial f(x, \alpha)}{\partial \alpha_n} \right)$$

donne la linéarisation de cette fonction dans  $\alpha^{(0)}$ . Dans chaque point  $(x_i, y_i)$  on calcule

$$A_{ij}^{(0)} := \frac{\partial f(x_i, \alpha^{(0)})}{\partial \alpha_j}, \quad i = 1 \dots N \quad \text{et} \quad j = 1 \dots n.$$

On voit que afin d'approximer les données  $(x_i, y_i)$ , il faudra résoudre un système de  $N$  équations linéaires pour trouver  $n$  variables  $a_j = \alpha_j - \alpha_j^{(0)}$  (avec typiquement  $n \ll N$ ). En forme matricielle on a

$$A a = y, \quad \text{ou graphiquement} \quad \boxed{A} \begin{array}{|c} a \\ \hline \end{array} = \begin{array}{|c} y \\ \hline \end{array} \quad (3.9a)$$

où  $A$  est une matrice  $n \times N$ ,  $a$  est vecteur des inconnus de dimension  $n$ , et  $y$  est vecteur des données de dimension  $N$ .

Avant de résoudre (3.9a), on le modifie pour tenir compte de différences en incertitudes des données  $y_i$ . En d'autres termes, on emploie la m.m.c. pondérée. Rappelons, que dans le cas le plus général, les données sont caractérisées par la matrice de *covariance* (ou *covariation* en anglais)  $\sigma$ , une matrice symétrique de dimension  $N \times N$  dont les éléments diagonaux  $\sigma_{ii}$  représentent l'écart type (la dispersion ou variance) des données  $y_i$  respectives, tandis que les éléments non-diagonaux  $\sigma_{ii'}$  caractérisent corrélations entre  $y_i$  et  $y_{i'}$ . Notons qu'en pratique  $\sigma$  est rarement connue. Elle est souvent supposée d'être diagonale ( $\sigma_{ii'} = 0$  pour tous  $i \neq i'$ ), c'est à dire, on assume que pour tous  $i \neq i'$  aucune corrélation entre les mesures de  $y_i$  et de  $y_{i'}$  existe. Dans le cas encore plus simplifié, on suppose  $\sigma_{ii} = s$  pour tous  $i$ . On obtient l'équation pondérée en multipliant (3.9a) par  $\sigma^{-1}$  à gauche,

$$\sigma^{-1} A a = \sigma^{-1} y. \quad (3.9b)$$

Ainsi les données dont la variance est moins importante auront plus de poids dans la somme  $F_\alpha$ .

Afin de résoudre (3.9b), on le transforme en multipliant à gauche par  $A^T$  (matrice  $A$  transposée). Cela donne

$$S a = (A^T \sigma^{-1} A) a = A^T \sigma^{-1} y = b, \quad (3.9c)$$

ou graphiquement

$$\boxed{S} \begin{array}{|c} a \\ \hline \end{array} = \boxed{A^T} \boxed{\sigma^{-1}} \begin{array}{|c} A \\ \hline \end{array} \begin{array}{|c} a \\ \hline \end{array} = \boxed{A^T} \boxed{\sigma^{-1}} \begin{array}{|c} y \\ \hline \end{array} = \begin{array}{|c} b \\ \hline \end{array}.$$

Au présent  $S$  est une matrice carrée de dimension  $n \times n$  et  $a$  et  $b$  sont vecteurs de dimension  $n$ . On a donc à résoudre un système de  $n$  équations pour  $n$  inconnus. Si bien sur  $\det S \neq 0$  (et en pratique on demande  $\det S \gg 0$ ) la solution est

$$a = S^{-1} b = S^{-1} A^T \sigma^{-1} y, \quad (3.9d)$$

où les éléments  $(S^{-1})_{jj'}$  de la matrice  $S^{-1}$  donnent la covariance des paramètres  $a_j$  et  $a_{j'}$ . L'écart type de  $a_j$  étant  $(S^{-1})_{jj}$  on définit la matrice de corrélation  $C$  dont les éléments sont

$$C_{jj'} = \frac{(S^{-1})_{jj'}}{\sqrt{(S^{-1})_{jj} (S^{-1})_{j'j'}}}$$

**Exercice 3.6.** Dans le cas  $n = 2$  avec  $f(x; \alpha) = \alpha_1 + \alpha_2 x$ , vérifiez que la solution  $a$  trouvée ainsi dans (3.9d) correspond à celle trouvée dans (3.8b).

**Exercice 3.7.** Démontrez plus généralement, que la solution (3.9d) conforme au principe de la m.m.c. Pour cela exprimez  $F(\alpha)$  en utilisant les matrices  $A$  et  $\sigma$  et donnez les équations pour trouver  $\min_\alpha F(\alpha)$ .

**Iteration m.m.c.** Dans le cas de où  $f(x, \alpha)$  est une fonction linéaire de paramètres  $\alpha = (\alpha_1, \alpha_2, \dots, \alpha_n)^T$ , la solution  $a$  dans (3.9d) est finale. (Dans ce cas, la valeur de départ  $\alpha^{(0)}$  peut être choisie librement, par exemple  $\alpha^{(0)} = 0$ .) Autrement, on obtient

$$\alpha^{(1)} = \alpha^{(0)} + a,$$

calcule de nouveau la matrice  $A = A^{(1)}$  et repete la procédure m.m.c. Évidemment, nul garantit la convergence. Elle dépend largement du choix du départ  $\alpha^{(0)}$  et des corrélations entre les paramètres.



## TP-1 Solution des systèmes des équations linéaires

**But de TP.** Ecrire et tester une procédure de langage Maple V. 3 permettant la solution d'un système d'équations linéaires par la méthode de Gauss sans choix d'élément pivotant.

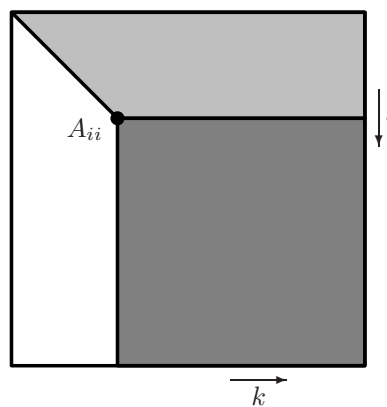
**Notions de base.** On cherche à obtenir une solution  $x = (x_1, \dots, x_n)$  d'un système à  $n$  équations linéaires écrit sous la forme matricielle suivante

$$Ax = b,$$

où  $A$  est une matrice  $n \times n$ ,  $x$  est le vecteur des inconnus, et  $b$  est un vecteur constant de dimension  $n$ . On suppose que  $\det A \neq 0$  et donc la solution unique  $A^{-1}b$  existe.

Pour chercher  $x$  on utilise une procédure standard connue comme la méthode de Gauss. Selon cette méthode, on cherche d'abord à transformer  $A \rightarrow A'$  par la procédure de l'élimination (de colonnes) en forme triangulaire supérieure avec les entrées sur la diagonale principale égales à 1. En même temps  $b$  est transformé en  $b'$ . Par la suite on résout l'équation  $A'x = b'$  en utilisant la substitution inverse (*back substitution*) en commençant par la dernière composante de  $x$ . Pour simplifier les choses, dans ce TP on ne fait aucun choix d'élément pivotant.

Rappelez vous que l'étape d'élimination Gaussienne s'achève en  $n$  pas. A chaque pas  $i = 1, \dots, n$  on descend sur ligne  $i$  de la matrice  $A$ . En ce moment, comme illustré ci-dessous, tous les éléments  $A_{ik}$  de la matrice avec  $k < i$  sont déjà éliminés, c'est à dire ils sont égaux à 0.



Par ailleurs, sur toutes lignes  $j > i$  les éléments  $A_{jk}$  avec  $k < i$ , ainsi que sur toutes lignes  $j < i$  les éléments  $A_{jk}$  avec  $k < j$  sont aussi tous nuls. En plus tous éléments diagonaux  $A_{kk}$  avec  $k < i$  sont égaux à 1.

Car on ne fait aucun choix de l'élément pivotant, on prends  $p = A_{ii}$ . Il est donc important que  $p \neq 0$ ; si c'est n'est pas le cas, prévoir d'abandonner la procédure! On divise tous les éléments  $A_{ik}$  avec  $k = i, \dots, n$  ainsi que  $b_i$  par  $p$ :

$$A_{ik} \rightarrow A_{ik}/p, \quad k = 1, \dots, n, \quad b_i \rightarrow b_i/p.$$

Si  $i = n$  il n'y a rien d'autre à faire, l'étape de l'élimination se termine. Autrement on procède à éliminer la colonne  $k = i$  dans tous lignes  $j > i$ , c'est à dire au-dessous de ligne  $i$  (voir le carreau gris foncé dans la figure). Alors, de chaque ligne  $j = i+1, \dots, n$  on soustrait ligne  $i$  multipliée par  $r = A_{ji}$  et on corrige également la partie droite  $b_j$ :

$$A_{jk} \rightarrow A_{jk} - r A_{ik}, \quad k = i, \dots, n, \quad b_j \rightarrow b_j - r b_i.$$

(Notez que cela nécessitera une boucle double, une boucle extérieure en  $j$  et une boucle intérieure en  $k$ ; notez aussi que on est à l'intérieur de la boucle en  $i$ , laquelle est la boucle principale de l'élimination.)

Une fois la phase de l'élimination est terminée, on procède avec la substitution inverse en utilisant  $A'$  et  $b'$ . Évidemment, car tous les éléments  $A_{nk}$  avec  $k < n$  sont nuls et  $A_{nn} = 1$ , on obtient  $x_n = b'_n$ . On commence donc par l'avant dernière ligne  $n - 1$ . Sur chaque ligne  $i = n-1, \dots, 1$  on utilise les composants  $x_k$  avec  $k > i$  déjà trouvées précédemment pour chercher  $x_i$  et on remplace  $b_i$  par  $x_i$ :

$$b_i \rightarrow b_i - \sum_{k=i+1}^n b_k A_{ik}, \quad i = n-1, \dots, 1.$$

**Quelques conseils de programmation en Maple V. 3.** Afin d'accéder aux certaines opérations matricielles communes, chargez la bibliothèque standard d'algèbre linéaire

```
with(linalg):
```

Notez que si  $A$  est du type `matrix` (elle représente donc matrice  $A$ ) les éléments  $A_{ik}$  sont accédés comme `A[i, k]`. Ainsi, pour imprimer les éléments  $i = 1, \dots, n$  de colonne  $k$  on utilise la boucle suivante

```

for i from 1 to n do
  print(A[i,k]);
od;

```

L'avantage d'utiliser les objets du type `matrix` ou `vector` (par rapport aux listes) est dans la possibilité de changer les valeurs de leurs éléments individuellement par une simple attribution, par exemple

```

for k from i to n do
  A[i,k]:=A[i,k]/p; # rescale i-th row
od;
b[i]:=b[i]/p;      # rescale the rhs entry

```

Notez que ici le dièse # (dit *hash*) précède les commentaires. Vous trouverez ce type d'objets dans les langages les plus anciens, tels comme FORTRAN ou BASIC, où ils sont appelés ARRAY. Vous pouvez imposer l'usage de ces objets dans la définition de votre procédure de façon suivante :

```

# simple in-place Gauss elimination code without pivoting for Maple V.3
gausselim := proc(A:matrix, b:vector)
  local n,i,j,k,p,r;
  n:=rowdim(A);      # dimension of the matrix
  . . .

  RETURN(evalm(b));
end;

```

Notez aussi la déclaration des variables locales à votre procédure. Ces variables ne sont pas visibles ni accessibles en dehors de la procédure où les mêmes noms peuvent servir à d'autres choses. Utilisez `rowdim` pour trouver la dimension de  $A$ . Enfin, utilisez `evalm` pour retourner le vecteur de solution  $b$  par sa valeur et pas par son nom. Il vous sera aussi peut être nécessaire de utiliser `evalf` afin de convertir vos résultats finaux et intermédiaires en nombres flottants. Dans ce cas utilisez `map` afin d'appliquer `evalf` à chaque élément d'une matrice ou d'un vecteur, par exemple

```
map(evalf,b);
```

Enfin, pour tester votre procédure faites

```

A := matrix([[1,2,3],[7,8,9],[4,6,5]]); A1:=copy(A);
b := vector([1,2,3]);                  b1:=copy(b);
gausselim(A1,b1);

```

Notez que notre procédure `gausselim` détruit la matrice  $A$  et le vecteur  $b$  initiaux et les remplace par la matrice en forme triangulaire supérieure et le vecteur des solutions. Pour préserver  $A$  et  $b$ , il est impératif de faire leur copies. Cependant, juste l'opération simple `A1:=A`; ne suffit pas, car contrairement aux autres objets (variables simples, listes), les matrices (`matrix`), vecteurs (`vector`), et tableaux (`table`) ne sont pas attribués en Maple V. 3 par leur valeur mais par leur nom. Afin de les attribuer par leur valeur, on utilise `copy(A)` ou `evalm(A)`. Vous pouvez donc utiliser  $A$  et  $b$  pour un teste ultime

```
linsolve(A,b);
```

et comparer avec la solution retournée par votre `gausselim`. (Voir la description de la procédure standard `linsolve` dans la bibliothèque `linalg`.)

**Questions.** Quel est le défaut principal de votre programme? Votre programme, est-il stable numériquement? Pourquoi? Quelle est le rôle d'élément pivotant  $p$ ? Quelles sont les modifications nécessaires afin de pouvoir choisir l'élément pivotant?

**Texte du programme :**

```
# simple in-place Gauss elimination code without pivoting for Maple V.3
with(linalg):
# NB: to preserve A and b in Maple V.3, use copy(A) and copy(b)
gausselim := proc(A:matrix, b:vector)
  local n,i,j,k,p,r;
  n:=rowdim(A);          # dimension of the matrix
  for i from 1 to n do
    p:=A[i,i];           # pivoting element
    if p=0 then break; fi; # bail out to avoid division by 0
    for k from i to n do
      A[i,k]:=A[i,k]/p;  # rescale i-th row
    od;
    b[i]:=b[i]/p;        # rescale the rhs entry
    if printlevel>2 then print(i,p,row(A,i)) fi;
    if i=n then break fi; # stop with no rows left to eliminate
    for j from i+1 to n do # eliminate i-th column from all rows j>i
      r:=A[j,i];
      for k from i to n do
        A[j,k] := A[j,k]-A[i,k]*r;
      od;
      b[j]:=b[j]-b[i]*r; # subtract from the j-th rhs entry
    od;
  od;
  if printlevel>1 then print(n,A,b) fi;
  for j from 1 to n-1 do # back substitute, store the solution in b
    i:=n-j;
    for k from i+1 to n do
      b[i]:=b[i]-b[k]*A[i,k];
    od;
  od;
  RETURN(evalm(b));
end;
```

## TP-2 Méthode des moindres carrés

Considérez les données<sup>3</sup> sur les masses atomiques  $m$  des isotopes en fonction de leur charge  $Z$  et du nombre des protons  $p$  et des neutrons  $n$  (voir tableau). On définit la masse effective

$$M_{\text{eff}} := \frac{m - m_e Z}{n + p}$$

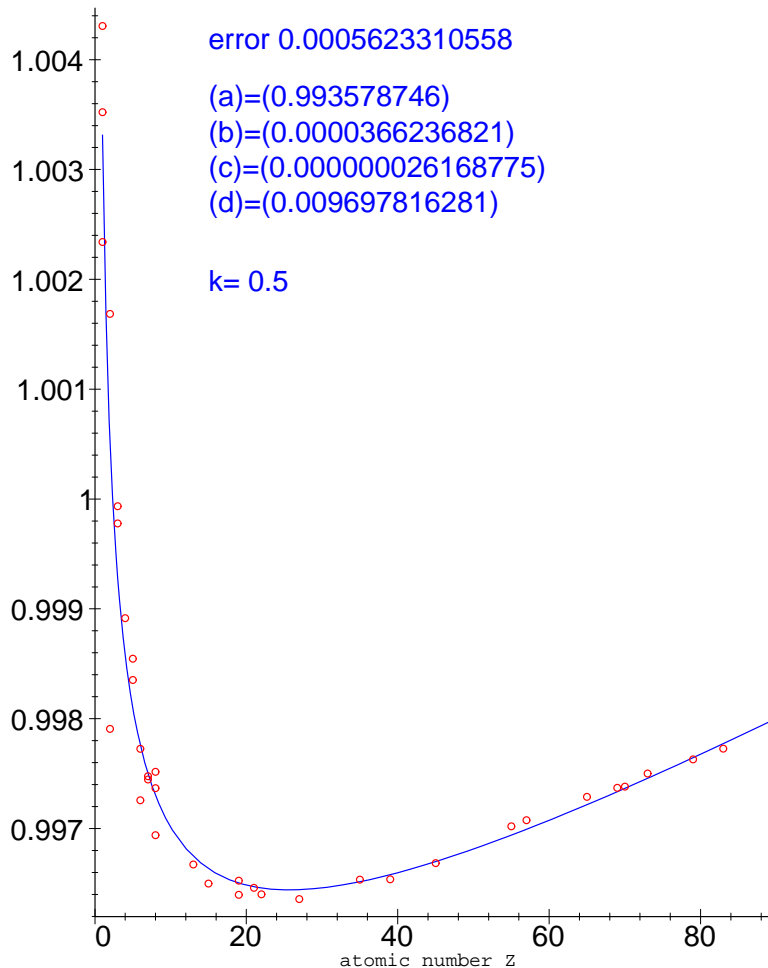
du noyau (corrigée par la masse des électrons  $m_e = 5.485799 \times 10^{-4}$  u.a.) et on cherche de l'approximer avec une fonction empirique de  $Z$  et des paramètres  $\alpha = [a, b, c, d]$  et  $K$ ,

$$M_{\text{eff}}(Z) = a + bZ + cZ^2 + \frac{d}{Z^K}.$$

Au premier temps on utilise la méthode linéaire et on fixe  $K$  à 0.5. Développez un programme de la méthode des moindres carrés et obtenez les valeurs de paramètres. Représentez vos résultats. Comparez «théorie» et «expérience» textuellement et graphiquement (voir la figure ci-dessous). Quel élément est le plus stable<sup>4</sup> ?

Calculez les matrices de covariation  $S$  et de corrélation  $C$ . En supposant que l'écart type des données est  $\sigma = 10^{-4}$  u.a., trouvez l'écart type des paramètres  $\alpha$ . Présentez et interprétez vos résultats.

### Effective mass and nuclear stability



Enfin proposez et réalisez une procédure itérative pour optimiser la valeur de  $K$ .

<sup>3</sup>voir «Atomic weights and isotopic compositions» [<http://physics.nist.gov/PhysRefData/Compositions/>] par J. S. Coursey, D. J. Schwab, & R. A. Dragoset, NIST, Physics Laboratory, Office of Electronic Commerce in Scientific and Engineering Data

<sup>4</sup> pour l'interprétation physique, voir le matériel du cours de physique atomique sur la stabilité des noyaux et les deux sources de l'énergie nucléaire

**Texte du programme :**

```

# example of the nonlinear least square fit [DS, 11 Oct 2005]
# dependence of the effective atomic mass Meff on the charge (atomic number) Z
with(linalg):

# mass of the electron (all masses in a.u.)
m_e := 5.485799*10e-4;

# definition of the effective mass
Meff := (Z,n,m)->(m-m_e*Z)/n :

atomic_data := [
# [ 0, 'n' , 1, 1.00866 ],
  [ 1, 'H' , 1, 1.007825],
  [ 1, 'D' , 2, 2.01410],
  [ 1, 'T' , 3, 3.01605],
  [ 2, 'He' , 3, 3.01603],
  [ 2, 'He' , 4, 4.00260],
  [ 3, 'Li' , 6, 6.01512],
  [ 3, 'Li' , 7, 7.01600],
  [ 4, 'Be' , 9, 9.01218],
  [ 5, 'B' , 10, 10.0129 ],
  [ 5, 'B' , 11, 11.0093 ],
  [ 6, 'C' , 12, 12.00000],
  [ 6, 'C' , 13, 13.00335],
  [ 7, 'N' , 14, 14.00307],
  [ 7, 'N' , 15, 15.00011],
  [ 8, 'O' , 16, 15.99491],
  [ 8, 'O' , 17, 16.99913],
  [ 8, 'O' , 18, 17.99917],
  [13, 'Al' , 27, 26.9815 ],
  [15, 'P' , 31, 30.97376],
  [19, 'K' , 39, 38.9637 ],
  [19, 'K' , 41, 40.9618 ],
  [21, 'Sc' , 45, 44.95591],
  [22, 'Ti' , 48, 47.94795],
  [27, 'Co' , 59, 58.93320],
  [35, 'Br' , 79, 78.9183 ],
  [39, 'Y' , 89, 88.90586],
  [45, 'Rh' ,103,102.90550],
  [55, 'Cs' ,133,132.90543],
  [57, 'La' ,139,138.90636],
  [65, 'Tb' ,159,158.92535],
  [69, 'Tm' ,169,168.93423],
  [70, 'Yb' ,171,170.9363 ],
  [73, 'Ta' ,181,180.94801],
  [79, 'Au' ,197,196.96656],
  [83, 'Bi' ,209,208.98039],
  [92, 'U' ,238,238.05079],
  [94, 'Pu' ,238,238.04956]
]:
# estimated uncertainty of the data
sigma := 0.0001;

# approximating empirical function
Kval := 0.5;
Feff := Z -> a + b*Z + c*Z^2/2 + d/Z^Kval :

S := 0:
Svars:=[a,b,c,d]:
for t in atomic_data do
  tm:= Meff(t[1],t[3],t[4]);
  S := S + (Feff(t[1]) - tm)^2;
od:
S := evalf(expand(S));
dS:=convert(grad(S,Svars),list);

```

```

# determine parameters
ss:=solve(convert(dS,set),indets(S));

# compute the covariation matrix
M := inverse(convert([seq(map((t,v)->coeff(v,t),Svars,i),i=dS)],matrix));
dM:= [seq(sqrt(M[i,i]),i=1..nops(Svars))];
Mc:= diag(100$nops(Svars)):
for i from 1 to nops(Svars) do
  for j from 1 to i-1 do
    Mc[i,j] := round(M[i,j] / (dM[i]*dM[j]) * 100);
  od:
od:

subs(ss,Svars);
map (t->t*sigma,dM);
print(Mc);

for i from 1 to nops(Svars) do
  printf('%s %12.5e [%9.3e]\n',
        convert(Svars[i],string),subs(ss,Svars[i]),dM[i]*sigma);
od:

# present results theory vs experiment
for t in atomic_data do
  tm:= Meff(t[1],t[3],t[4]);
  printf('%3i %2s[%3i] %10.6f %7.5f (%5.0f)\n',
        t[1],t[2],t[3],t[4],tm, (subs(ss,Feff(t[1])) - tm)*1e4
        );
od:
s0 := sqrt(subs(ss,S)/nops(atomic_data));
printf(' mean square deviation %7.5f for %i points\n',s0,nops(atomic_data));

plotsetup(ps,plotoutput='atomicdata.ps',plotoptions='color,portrait,noborder');

plots[display](
[
  plot(map( t->[t[1],Meff(t[1],t[3],t[4])], atomic_data ),
        'atomic number Z'=0..90,
        color=red, style=POINT, symbol=CIRCLE),
  plot(subs(ss,Feff(x)), x=1..90, color=blue, style=LINE, thickness=2),
  plots[textplot]([15,1.0042,cat('error ',convert(s0,string))],color=blue,align=RIGHT),
  plots[textplot]([15,1.002,cat('k= ',convert(Kval,string))],color=blue,align=RIGHT),
  seq(plots[textplot]([15,1.004-i*.00032,convert(Svars[i]=subs(ss,Svars[i]),string)],
                    color=blue,align=RIGHT),
    i=1..nops(Svars))
],
  font=[HELVETICA,18],
  axesfont=[HELVETICA,18],
  labelfont=[HELVETICA,BOLD,22],
  titlefont=[HELVETICA,BOLD,24],
  title='Effective mass and nuclear stability');

```

## TP-3 Méthodes itératives. Itération de Newton, étude de convergence

Les méthodes itératives, dont celle de Newton (1643–1727) est la plus célèbre, sont employées pour résoudre les équations *nonlinéaires* de forme générale  $f(x) = 0$ . On note qu'en particulier, ces équations apparaissent dans la recherche locale des extremums d'une fonction  $F(x)$  pour laquelle  $f = dF/dx$ , et que par conséquent, ces méthodes s'appliquent dans des problèmes d'optimization. *Deux règles générales s'imposent pour éviter les pièges* : bien choisir le point de départ  $x_0$  et connaître l'intervalle  $[x_{\min}, x_{\max}]$  où se trouve la solution.

### TP-3.1 L'approche de Newton dans une dimension

Vers 1669 *Newton* avait proposé cette méthode afin de trouver la racine d'un polynôme cubique  $f(x) = x^3 + 6x^2 + 10x - 1$ . Plus généralement, considérez  $f : \mathbb{R} \rightarrow \mathbb{R} : x \mapsto f(x)$  et supposez que ses dérivées  $f'$  et  $f''$  existent au moins dans un intervalle  $[x_{\min}, x_{\max}]$ . En utilisant le développement limité jusqu'à premier ordre<sup>5</sup>

$$f(x + \Delta) = f(x) + f'(x) \Delta + O(\Delta^2),$$

c'est à dire, en utilisant l'approximation linéaire au voisinage du point  $x$ , nous cherchons<sup>6</sup> la racine dans  $x + \Delta$  :

$$f(x + \Delta) \approx 0 \approx f(x) + f'(x) \Delta \Rightarrow \Delta = -f(x)/f'(x).$$

Alors, on choisit une valeur de départ  $x_0$  et on obtient une séquence  $x_k, k = 1, 2, 3, \dots$  avec

$$x_{k+1} = x_k - f(x_k)/f'(x_k). \quad (\text{TP-3.1})$$

Cela représente l'*itération Newtonienne*.

**Exercice TP-3.1.** En prenant  $x_0 = 2$  trouvez la racine  $x^3 + 6x^2 + 10x - 1$  en utilisant la méthode de Newton. Faites-le d'abord à la main, puis à l'aide de `Maple V. 3`. Caractérissez la convergence de la méthode. Proposez un critère d'arrêt.

### TP-3.2 Généralisation aux plusieurs dimensions

Au présent, considérons l'application

$$\vec{f} = \begin{pmatrix} f_1 \\ \vdots \\ f_n \end{pmatrix} : \mathbb{R}^n \rightarrow \mathbb{R}^n : \vec{x} = \begin{pmatrix} x_1 \\ \vdots \\ x_n \end{pmatrix} \mapsto \vec{f}(\vec{x}) = \begin{pmatrix} f_1(\vec{x}) \\ \vdots \\ f_n(\vec{x}) \end{pmatrix}$$

et supposons que  $\partial f_i / \partial x_i$  ainsi que tout les deuxèmes dérivées existent dans un domaine  $U \ni x_0$  de  $\mathbb{R}^n$ . Rappelez que dans ce cas le développement limité nous donne<sup>7</sup>

$$\vec{f}(\vec{x} + \vec{\Delta}) = \vec{f}(\vec{x}) + J(\vec{x}) \vec{\Delta} + O(\|\vec{\Delta}\|^2) \quad \text{où } J(\vec{x}) = \begin{pmatrix} \nabla_x f_1(\vec{x}) \\ \vdots \\ \nabla_x f_n(\vec{x}) \end{pmatrix} \text{ et } \nabla_x f_i(\vec{x}) = (\partial f_i / \partial x_1, \dots, \partial f_i / \partial x_n).$$

L'itération de Newton (TP-3.1) prend la forme suivante<sup>7</sup>

$$\vec{x}_{k+1} = \vec{x}_k - J^{-1}(\vec{x}_k) \vec{f}(\vec{x}_k). \quad (\text{TP-3.2})$$

Notons, qu'une approche similaire basée sur la linéarisation de la fonction  $f(x, \alpha)$  est utilisée dans le cadre de la m.m.c. (voir sec. 3.4 et TP-2) afin d'optimiser les valeurs de paramètres  $\alpha$  dont  $f$  dépend de façon nonlinéaire.

**Exercice TP-3.2.** Considérez le cas avec  $n = 2$  et trouvez la racine de

$$f(x) = \begin{pmatrix} x_1^3 - 3x_1x_2^2 - 1 \\ 3x_1^2x_2 - x_2^3 \end{pmatrix}$$

au voisinage de point  $x_0 = (-0.6, 0.6)^T$  en utilisant la méthode de Newton. Faites-le d'abord à la main, puis à l'aide de `Maple V. 3`. Caractérissez la convergence de la méthode. Proposez un ou plusieurs critères d'arrêt. Enfin considérez si ce problème correspond à une recherche (locale) d'un extremum d'une fonction  $F : \mathbb{R}^2 \rightarrow \mathbb{R} : (x_1, x_2) \mapsto F(x_1, x_2)$ .

<sup>5</sup>Dans cet ordre, il s'agit tout simplement de la formule de *Leibnitz*, i.e., de la définition de  $f'$  ; pour les degrés plus élevés, c'est une série de *Taylor*.

<sup>6</sup>Évidemment en plus d'existence des dérivées nous devons demander que  $f'(x) \neq 0$  pour tout  $x \in [x_{\min}, x_{\max}]$  !

<sup>7</sup>Ici le *Jacobian*  $J$  est une matrice carrée de dimension  $n \times n$ , et le *gradient*  $\nabla f$  est un vecteur-ligne de dimension  $n$ , i.e., chaque ligne de  $J$  est le gradient d'une composante de  $f$ . Notez aussi que afin de pouvoir inverser  $J$  dans tout le domaine  $U$  nous devons supposer  $\det J(x) \neq 0$  pour tout  $x \in U$ , i.e., l'absence des *points critiques* de  $f$ , comparez avec le cas d'une dimension dans la note 6.

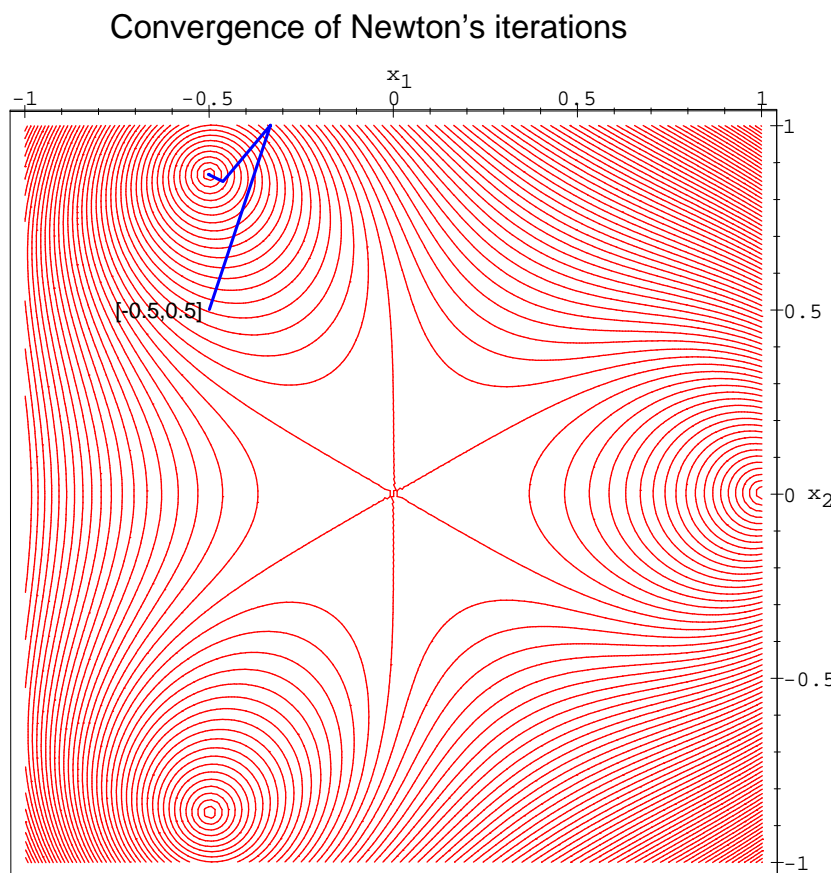
**Solution de l'exercice TP-3.2** Soit  $\xi = \vec{x} = (x_1, x_2)^T \in \mathbb{R}^2$ . On compute :

$$J(\xi) = 3 \begin{pmatrix} x_1^2 - x_2^2 & -2x_1x_2 \\ 2x_1x_2 & x_1^2 - x_2^2 \end{pmatrix}, \quad \det J(\xi) = (3(x_1^2 + x_2^2))^2 = 9\|\xi\|^4, \quad J^{-1}(\xi) = \frac{3}{\det J(\xi)} \begin{pmatrix} x_1^2 - x_2^2 & 2x_1x_2 \\ -2x_1x_2 & x_1^2 - x_2^2 \end{pmatrix}.$$

On voit que le seul point critique de l'application  $f(\xi)$  de l'exercice TP-3.2 est  $\xi = (0, 0)$ . Par conséquent, nous devons choisir  $U \subseteq \mathbb{R}^2 \setminus \{(0, 0)\}$ . En pratique, il vaut mieux de s'éloigner de  $(0, 0)$  mais de ne pas aller trop vers larges  $\|\xi\| \gg 1$  car les trois racines de  $f(\xi) = 0$  sont  $(-1/2, \pm\sqrt{3}/2)$  et  $(1, 0)$ . Par exemple, on pourrait travailler dans un anneau  $U = \{0.1 < \|\xi\| < 2\}$ . Ainsi, en choisissant  $\xi^{(0)} = (-\frac{1}{2}, \frac{1}{2})$  comme le point de départ, nous obtenons pour les itérations Newtoniennes successives

$k$	$\xi^{(k)}$	$f(\xi^{(k)})$	$\ f(\xi^{(k)})\ $
0	[.5, .5]		
1	[-.3333333333, 1.000000000]	[-.037037037, -.6666666667]	.6676946807
2	[-.4622222222, .8466666666]	[-.1047291957, -.064258864]	.1228715022
3	[-.5018742425, .8657762898]	[.002156538, .005250658]	.0056762720
4	[-.5000009238, .8660219539]	[-.000007578, .000007575]	.0000107147
5	[-.5000000000, .8660254039]	$[0, -.2] \times 10^{-9}$	$.2 \times 10^{-9}$
6	[-.5000000000, .8660254038]	[0, 0]	0

Dans la figure ci-dessous on visualise ces itérations (trace bleue) sur le graphe de  $\|f(\xi^{(k)})\|$  (contours rouges)



Pour répondre à la dernière question de l'exercice, rappelons qu'une telle  $F : \mathbb{R}^2 \rightarrow \mathbb{R}$  existerait seulement si ses deuxièmes dérivées partielles mixtes sont les mêmes. Parmi les deux possibilités, on choisit

$$\frac{\partial F(\xi)}{\partial x_2} = f_1(\xi) \quad \text{et} \quad \frac{\partial F(\xi)}{\partial x_1} = f_2(\xi),$$

et on vérifie les deuxièmes dérivées partielles

$$\frac{\partial^2 F(\xi)}{\partial x_2 \partial x_1} = \frac{\partial f_1(\xi)}{\partial x_1} = 3(x_1^2 - x_2^2) \quad \text{et} \quad \frac{\partial^2 F(\xi)}{\partial x_1 \partial x_2} = \frac{\partial f_2(\xi)}{\partial x_2} = 3(x_1^2 - x_2^2).$$

Par intégration on obtient

$$F(\xi) = x_1^3 x_2 - x_1 x_2^3 - x_2 + \text{const} \quad \text{et donc} \quad \nabla F(\xi) = (f_2(\xi), f_1(\xi)) = \begin{pmatrix} 0 & 1 \\ 1 & 0 \end{pmatrix} f(\xi), \quad G(\xi) = \frac{\partial^2 F}{\partial \xi^2} = \begin{pmatrix} 0 & 1 \\ 1 & 0 \end{pmatrix} J(\xi)$$

où la matrice symétrique  $G(\xi)$  des deuxèmes dérivées de  $F(\xi)$  est appelée *Gaussian* de  $F$ . Alors, effectivement, il s'agit d'une recherche (locale) de l'extremum de la fonction  $F(\xi)$  par une méthode d'ordre 2 (exploitant les deuxèmes dérivées).



**Texte du programme :**

```

# solution of the system of nonlinear eqns using Newton's method, DS 2010-11-09
# -----
with(linalg):
xi := [x1,x2]:          # variables
nvars := nops(xi):     # dimension of the system
# a handy auxiliary function to produce a list of var=value
eqzip := (a,b) -> zip( (i,j)->i=j, a,b):
# function to determine the value of vector-valued function f, return as list
# assume that the values of variables x and those of can be vectors or lists
fval := proc(x,f)
  subs( op(eqzip(xi,convert(x,list))), convert(f,list) )
end:
# prepare the quantities used in the iteration
f := [x1^3 -3*x1*x2^2 -1, 3*x1^2*x2 -x2^3]; # local diffeomorphism R2 -> R2
J := matrix(map(grad,f,xi));                # Jacobian matrix of f
factor(det(J));                             # det(J)=0 only for xi=0
# NB even though Maple thinks of grad as a vector it packs them linewise
iJ:=inverse(J);                             # inverse Jacobian matrix
df:=map(factor,convert(evalm(iJ*f),list)); # correction vector f(x)/f'(x)

xi0 := [-0.5,0.5];    # initial point
f0 := fval(xi0,f):    # initial function value
nf0 := norm(f0,2):    # norm of f (used to measure the error) at initial point
xv := array(0..imax): # book keeping storage of iteration steps
xv[0] := [op(xi0),nf0]:

tau := 1e-2:          # relative tolerance of solution improvement
imax := 32:           # maximum number of iterations

for i from 1 to imax do          # Newton's iterations
  xi1 := convert( evalm(xi0 - evalf(fval(xi0,df))), list);
  f1 := fval(xi1,f);            # function vector at the new point
  nf1 := norm(f1,2):            # its norm
  xv[i] := [op(xi1),nf1];
  lprint(i, xi1, f1, norm(f1,2));
  if i=imax or nf1=0 or abs(nf0/nf1-1) < tau then break fi;
  xi0 := xi1;
  f0 := f1;
  nf0:=nf1;
od:

plotsetup(ps,plotoutput='/tmp/Newton-iterations.ps', plotoptions='color,portrait,noborder'):
R1 := 1: R2 := R1: # sqrt(R1^2-x1^2):
plots[display]([
  plots[contourplot](sqrt(dotprod(f$2)),x1=-R1..R1,x2=-R2..R2,
    contours=60, grid=[128$2], color=RED,axes=BOXED),
  plots[textplot3d]( [op(xv[0]),convert([op(1..2,xv[0]]),string)], align={LEFT,TOP}, color=BLACK),
  plots[spacecurve]( [seq(xv[k],k=0..i)], color=BLUE,thickness=3)
], projection=1, orientation=[-90., 0], scaling=CONSTRAINED, #view= 0..10,
  title='Convergence of Newton's iterations', titlefont=['HELVETICA',18]);

```

## TP-4 Projet : étude des vibrations d'une molécule diatomique

**Introduction.** Plusieurs séances de TD/TP et du cours seront consacrées à ce projet. Les étudiants se groupent en binômes. Les binômes choisissent différentes molécules. Chaque binôme prépare une présentation orale du projet défendue devant un jury de 2–3 enseignants, qui interviennent dans les cours des vibrations (Hadj Abdelhak, Robin Bocquet), de mécanique (Boris Zhilinskiï, Guillaume Dhont) et de physique mathématique (Christophe Przygodsky). Le projet est noté. La note remplace celle d'un DS.

**But de projet.** On découvre trois thèmes principales du calcul numérique : solution des équations (méthode de Newton et autres), intégration d'un système des équations différentielles ordinaires du premier ordre (méthode RK), analyse de Fourier (transformation discrète, FFT). On apprend ainsi d'exploiter les possibilités du calcul symbolique du logiciel Maple V. 3.

**Notions de base : rappels sur la physique moléculaire** On caractérise les molécules diatomiques<sup>8</sup> par leur distance interatomique d'équilibre  $r_e$  et leur énergie de dissociation  $D_e$ , voir quelques exemples ci-dessous<sup>9</sup>

molécule	état	$D_e$ (eV)	$r_e$ (Å)	$\nu_0$ (cm <sup>-1</sup> )	molécule	état	$D_e$ (eV)	$r_e$ (Å)	$\nu_0$ (cm <sup>-1</sup> )
LiH	$\Sigma$	2.47	1.596	1406	H <sub>2</sub>	$\Sigma_g$	4.5	0.741	4401
CO	$\Sigma$	11.2	1.128	2170	N <sub>2</sub>	$\Sigma_g$	9.8	1.098	2359
HCl	$\Sigma$	4.4	1.275	2991	O <sub>2</sub>	$^3\Sigma_g$	5.2	1.208	1580
HF	$\Sigma$	5.8	0.917	4138	F <sub>2</sub>	$\Sigma_g$	1.6	1.412	917
NO	$\Sigma$	7.0	1.151	1904	Cl <sub>2</sub>	$\Sigma_g$	2.5	1.988	560

L'énergie totale ou l'hamiltonien est (ici  $\mu$  est la masse réduite, voir problème de deux corps en cours de mécanique)

$$H = \frac{p^2}{2\mu} + V(x), \quad \text{où } x = r - r_e, \quad \text{et } \mu = \frac{m_1 m_2}{m_1 + m_2}.$$

On représente  $V(x)$  par différentes fonctions empiriques, parmi lesquelles le *potentiel de Morse*<sup>10</sup>

$$V_M(x) = D_e (1 - e^{-\alpha(x/r_e)})^2, \quad (\text{TP-4.1})$$

ou le *potentiel de Lennard-Jones*<sup>11</sup> dit «6–12»

$$V_{LJ}(r) = 4\epsilon \left[ \left( \frac{\sigma}{r} \right)^{12} - \left( \frac{\sigma}{r} \right)^6 \right] = \frac{a}{r^{12}} - \frac{b}{r^6}, \quad \text{avec } r = r_e + x, \quad (\text{TP-4.2})$$

ou encore le *potentiel de Kratzer*

$$V_K(r) = \frac{a_2}{r^2} - \frac{a_1}{r} + a_0, \quad \text{avec } r = r_e + x. \quad (\text{TP-4.3})$$

sont les plus connus. Enfin, dans l'approximation *harmonique*, on utilise le potentiel quadratique

$$V_0(x) = \frac{k}{2} x^2 \quad (\text{TP-4.4})$$

où  $k$  connu aussi comme  $k_0$  ou  $k_{xx}$  est un appelé *constante de force harmonique*.

En mécanique classique, on obtiens les équations hamiltoniennes du mouvement pour les variables canoniques conjuguées  $x$  et  $p$

$$\frac{dx}{dt} = \dot{x} = \frac{\partial H}{\partial p} = \frac{p}{\mu}, \quad \frac{dp}{dt} = \dot{p} = -\frac{\partial H}{\partial x} = -\frac{dV}{dx} = -F(x).$$

Cela est un système des équations différentielles ordinaires du premier ordre, prêtes pour l'intégration numérique (voir méthodes de Euler et de RK). Pour passer en mécanique classique newtonienne, on observe que

$$\ddot{x} = \frac{\dot{p}}{\mu} = -\frac{1}{\mu} F(x),$$

et on considère donc  $F(x)$  comme une force agissant sur la particule de masse  $\mu$ .

<sup>8</sup>Voir les cours de la mécanique quantique (Zhilinskiï, Dhont) et des vibrations (Hadj, Bocquet, Sadovskii) ainsi que l'appendice TP-4.1

<sup>9</sup> Huber, K. P. & Herzberg, G. (1979) *Molecular Spectra and Molecular Structure IV. Constants of Diatomic Molecules* (New York, Van Nostrand, Reinhold); <http://hyperphysics.phy-astr.gsu.edu/hbase/tables/diatomic.html>; *Computational Chemistry Comparison and Benchmark Database. Part XIII – Vibrations* (Aug. 2005) NIST Standard Reference Database 101, Release 12, <http://srdata.nist.gov/cccbdb/vibrations.asp>. Notez qu'en anglais  $r_e$  est appelé *equilibrium separation* ou *bond length*

<sup>10</sup>Morse, P. M. (1929) Diatomic molecules according to the wave mechanics. II. Vibrational levels. *Phys. Rev.* **34**, 57–64.

<sup>11</sup>Lennard-Jones, J. E. (1931) Cohesion. *Proc. Phys. Soc.* **43**, 461–482.

**Unités.** On utilise le système des unités atomiques (u.a.) dans lequel  $\hbar = 1$ . L'u.a. d'énergie  $E_h$ , nommé Hartree, est égale à 2625.5 kJ/mol, 627.5 kcal/mol, 27.211 eV, ou  $219474.6 \text{ cm}^{-1}$ . Le  $\text{cm}^{-1}$  est utilisé souvent en spectroscopie pour exprimer les fréquences de vibration et/ou les énergies. Ainsi, pour obtenir la fréquence en Hz on multiplie par  $c$  en cm. L'u.a. de longueur  $a_0$ , ou rayon de Bohr, est égale  $0.529\,177\,210(2) \text{ \AA}$ . Les u.a. de masse et de charge sont, respectivement, la masse  $m_e$  et la charge  $e$  d'électron.

**Choix de la fonction potentielle, calcul des paramètres.** En exploitant la mode symbolique de `Maple V. 3`, trouvez les relations entre caractéristiques moléculaires  $r_e$ ,  $D_e$ , et  $\omega_0$  et les paramètres des fonctions potentielles  $V_M$ ,  $V_{LJ}$ , et/ou  $V_K$ . Peut-on reproduire correctement les trois caractéristiques ? Faites le calcul pour la molécule de votre choix. Choisissez le potentiel le mieux adapté pour la description des petites vibrations autour  $r_e$ . Donnez l'approximation polynomiale; déterminez les constants de force harmonique  $k_0$  et cubique  $k_{xxx}$ . Faites le dessin de différentes fonctions potentielles et des approximations quadratique et cubique.

**Calcul des points de retour  $r_1$  et  $r_2$ .** Pour une énergie donnée et en exploitant l'approximation quadratique, trouvez les intervalles de  $r$  pour chercher  $r_1$  et  $r_2$ . Par la suite, utilisez la procédure `fsolve` pour trouver les valeurs numériques exactes  $r_1$  et  $r_2$ . (Alternativement utilisez la méthode de Newton étudiée en TP-3.) Développez une procédure pour une énergie quelconque  $0 \leq E < D_e$ . Faites le graph de  $r_1(E)$  et  $r_2(E)$  pour  $0 \leq E < D_e$ .

**Intégration numérique de  $x(t)$  et  $p(t)$ .** Pour une énergie donnée choisissez les valeurs de départ  $x(0)$  et  $p(0)$ . Par exemple, le point de retour  $r_1$  («à gauche») ou le point  $x = 0$ . Trouvez symboliquement les équations hamiltoniennes du mouvement. Donnez ces équations numériquement pour la molécule choisie et en forme compatible avec `dsolve`. En exploitant l'approximation harmonique, estimez la période  $T \approx T_0$  et déterminez le pas d'intégration  $\tau$ , par exemple  $T_0/64$ . Utilisez `dsolve` en mode numérique RK-4 pour calculer  $x(t)$  et  $p(t)$  avec  $t = 0, \tau, 2\tau, \dots$

**Intégration numérique : calcul de la période  $T$ .** Dans le cas  $x(0) = 0$ , avancez  $x(t)$  et cherchez le temps  $t' > 0$  pour lequel  $x(0)$  se trouve dans l'intervalle entre  $x(t')$  et  $x(t' + \tau)$ . Dans le cas  $x(0) = r_1$ , avancez  $p(t)$  et cherchez le temps  $t'' > 0$  pour lequel  $p(0) = 0$  se trouve dans l'intervalle entre  $p(t'')$  et  $p(t'' + \tau)$ . Améliorez votre résultat de façon itérative (dichotomie, méthode des tangentes, section d'or ...) afin de trouver le temps  $T/2 > 0$  pour lequel  $x(T/2) = x(0)$ .

**Intégration numérique : exploitation et présentation des résultats.** Redéfinissez  $\tau$  en utilisant la valeur exacte de la période; tabulez  $x(t), p(t)$  pour une période. Calculez l'action

$$I = \frac{1}{2\pi} \int p dx = \frac{1}{2\pi} \int_0^T p \dot{q} dt.$$

(Ici l'intégrale est prise le long de la trajectoire pour un cycle.) Notez que le calcul de  $I$  peut être incorporé dans l'intégrateur `dsolve`. Dessinez vos trajectoires  $x(t), p(t)$  dans l'espace des phases  $\mathbb{R}^2$ . Vérifiez (ou démontrez graphiquement) que l'énergie  $H$  est conservée. Calculez la période  $T(E)$  et l'action  $I(E)$  pour différentes énergies dans l'intervalle  $0 \leq E < D_e$ , faites un tableau et les graphs.

**Transformation Fourier. Comparaison avec la théorie des perturbations.** Pour la comparaison voir le texte de Hadj, section «force asymétrique». (Traduire ?)

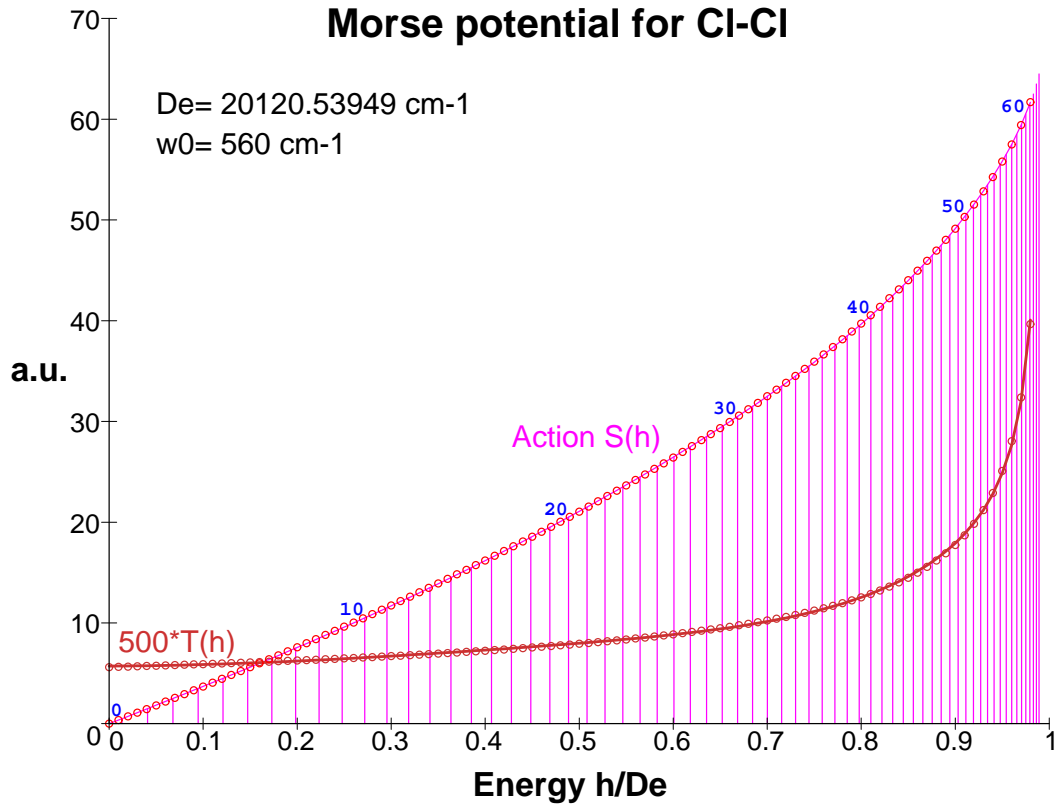
**Calcul des énergies quantiques.** On cherche les solutions  $E_n$  de l'équation de quantification

$$I(E_n) = n + \frac{1}{2} \quad \text{où } 0 \leq E_n < D_e \quad \text{et } n = 0, 1, 2, \dots$$

Faites un tableau de  $T(E)$  avec un pas  $\delta_E$  suffisamment petit, tel que  $\delta_I \ll 1$ . Approximez ces données par une fonction lisse, telle que

$$T(E) = a_0 + a_2 E^2 + a_4 E^4 + b (D_e - E)^{-1}.$$

(Question : quelle méthode faut il utiliser ?) Utilisez la relation  $T(E) = dI(E)/dE$  afin d'approximer en même temps l'intégrale de l'action  $I(E)$ . Confirmez et démontrez vos résultats graphiquement.



Trouvez les intervalles d'énergie pour les valeurs de  $I(E) = n + \frac{1}{2}$  ou  $n = 0, 1, 2, \dots$ . Dans chaque intervalle, faites les itérations pour trouver les solutions numériques exactes. Il est possible ici de faire appel à la procédure `fsolve` avec votre approximation pour  $I(E)$ .

### TP-4.1 Appendice : Potentiels moléculaires (B. I. Zhilinski)

Pour décrire les vibrations des molécules diatomiques on peut étudier le problème unidimensionnel du mouvement d'un particule de masse effective  $\mu$  dans un potentiel  $U(x)$ , qui dépend d'un certain nombre de paramètres. Les valeurs numériques des paramètres peuvent être retrouvés à partir de données expérimentales pour les molécules concrètes.

**Les données «expérimentales».** On considère comme les données «expérimentales» qui caractérisent les molécules diatomiques :

1. Distance entre les noyaux dans la configuration d'équilibre  $r_e$ .
2. Fréquence harmonique  $\nu_0$ , c'est à dire la fréquence d'oscillateur harmonique, qui décrit les petites vibrations près de la position d'équilibre.
3. Énergie de la dissociation  $D_e$ , or la différence  $U(r = \infty) - U(r = r_e)$ . Cette énergie est nécessaire pour séparer les atomes (briser la liaison chimique).
4. Les masses  $m_1$  et  $m_2$  des atomes, voir le tableau périodique.

0. Sans concrétiser la forme du potentiel  $U$ , écrivez l'hamiltonien uni-dimensionnel  $H$ , que vous allez utiliser pour décrire les vibrations d'une molécule diatomique. Exprimez la masse  $\mu$  en fonction de  $m_1$  et  $m_2$ .

1. Concrétisez  $H$  en utilisant le potentiel harmonique,  $U(r) = k(r - r_e)^2/2$ . Ce potentiel dépend de deux paramètres,  $k$  - constante de force, et  $r_e$ . Relier ces constantes avec les données expérimentales. Est ce que le modèle d'oscillateur harmonique peut reproduire la fréquence de vibration (distance d'équilibre, énergie de dissociation) avec propre choix des paramètres ? Donnez la relation entre  $k$  et la fréquence de vibration.

2. Concrétiser  $H$  en utilisant le *potentiel de Kratzer*

$$U_K(r) = \frac{a}{x^2} - \frac{b}{r}$$

dépendant de deux paramètres  $a$  et  $b$ . Pourquoi ces paramètres doivent être positives dans le cas des vibrations moléculaires ? Pour le potentiel  $U_K$ , exprimez la distance d'équilibre  $r_e$ , la constante de force harmonique  $k$ , et l'énergie de la dissociation  $D_e$ , comme fonctions des paramètres  $(a, b)$ . En utilisant le fait, que  $r_e$ ,  $k$ , et  $D_e$  ne dépendent que de deux paramètres  $a$  et  $b$ , trouvez la relation entre  $r_e$ ,  $k$ ,  $D_e$  imposé par la forme de  $U_K$ .

3. Concrétiser le hamiltonien en utilisant le potentiel dit de Lennard-Jones :

$$U(x) = \frac{A_{12}}{x^{12}} - \frac{A_6}{x^6}$$

Ce potentiel dépend de deux paramètres,  $A_6, A_{12}$ . Pourquoi les constantes sont obligé d'être positives si vous modéliser les vibrations moléculaires ?

Exprimer pour le potentiel de Lennard-Jones la distance d'équilibre,  $x_e$ , la constante de force,  $k_e$ , l'énergie de la dissociation,  $D_e$ , comme les fonction des paramètres  $A_6, A_{12}$ .

En utilisant le fait, que  $x_e, D_e, k_e$  ne dépend que de deux paramètres  $A_6$  et  $A_{12}$ , trouver la relation entre  $x_e, k_e, D_e$  imposé par le potentiel de Lennard-Jones.

4. Le potentiel de Morse

$$U(x) = D \left( e^{-2\alpha(x-x_0)/x_0} - 2e^{-\alpha(x-x_0)/x_0} \right)$$

dépend de trois paramètres  $D, \alpha, x_0$ . Exprimer pour le potentiel de Morse la distance d'équilibre,  $x_e$ , la constante de force,  $k_e$ , l'énergie de la dissociation,  $D_e$ , comme les fonctions des paramètres  $D, \alpha, x_0$ .

5. Les paramètres du potentiel de Morse pour les trois molécules  $H_2, HCl, I_2$  sont données dans la table

Molécule	$\frac{\hbar^2}{2\mu x_e^2}, \text{cm}^{-1}$	$D, \text{cm}^{-1}$	$\alpha$
$H_2$	60,8296	38292	1,440
HCl	10,5930	37244	2,380
$I_2$	0,0374	12550	4,954

Calculer la distance d'équilibre, la fréquence harmonique et l'énergie de dissociation pour  $H_2, HCl$  et  $I_2$  à partir des paramètres de potentiel de Morse et de masses des atomes. Est ce que ces trois paramètres satisfèrent (au moins approximativement) la relation trouver pour le potentiel de Kratzer ou de Lennard-Jones ?

Est ce qu'on peut utiliser le potentiel harmonique, le potentiel de Kratzer ou le potentiel de Lennard-Jones pour les vibrations de ces trois molécules de façon approximative ? Si oui, proposer les valeurs des paramètres à prendre pour chaque modèle.

6. Pour une molécule de votre choix proposer le potentiel de Kratzer (de Lennard-Jones) qui vous permet reproduire l'énergie de dissociation et la fréquence harmonique. Représenter ce potentiel et le potentiel de Morse initiale sur le même graphique.

## TP-5 Intégrateur numérique des équations différentielles ordinaires

**But de TP.** Écrire et tester une procédure en langage Maple V. 3 permettant l'intégration numérique d'un système des équations différentielles ordinaires (é.d.o) d'ordre 1 par la méthode d'Euler et ces améliorations. Comme exemple concret, considérer le *pendule plan* de large amplitude (voir les cours de *Mécanique* et de *Vibrations*).

**Généralités mathématiques** Rappler la formule de *Leibnitz* définissant la dérivée  $\dot{q} = dq/dt$ . Quelle est la différence entre les équations différentielles ordinaires et partielles? Dans un système mécanique, qui joue le rôle de la variable indépendante (variable d'intégration)? Comment transformer  $n$  équation(s) d'ordre  $k > 1$  en un système de  $n \times k$  équations d'ordre 1?

**Généralités physiques** On dérive les équations de mouvement pour notre système concret. Ainsi, en utilisant la mécanique *Lagrangienne* nous avons  $\ddot{\varphi} + \omega_0^2 \sin \varphi = 0$  où  $\omega_0 = \sqrt{g/l}$  peut être mise à 1 par un changement d'échelle de temps  $t \mapsto t/\omega_0$ . Par la suite, en utilisant deux variables  $x(t) = \varphi(t)$  et  $y(t) = \dot{\varphi}(t)$  on obtient le système de deux é.d.o d'ordre 1 :

$$\ddot{\varphi} + \omega_0^2 \sin \varphi = 0 \Rightarrow \begin{cases} \dot{x} = y \\ \dot{y} = -\sin x \end{cases} \Rightarrow \dot{q} = f(q), \text{ avec } q = \begin{pmatrix} x \\ y \end{pmatrix} \text{ et } f(q) = \begin{pmatrix} y \\ -\sin x \end{pmatrix}$$

Obtenez les mêmes équations en utilisant le formalisme *Hamiltonien* et variables dynamiques  $(\varphi, p_\varphi)$ .

**Notions de base sur la méthode d'Euler** En fixant les conditions initiales  $q_0 := q(0)$  pour l'instant  $t = 0$  et le pas en temps  $\Delta_t$  suffisamment petit, on essaye de retrouver les valeurs  $q(t)$  pour  $t > 0$ . Ainsi on trouve la *trajectoire*, une courbe  $\mathbb{R} \rightarrow \mathbb{R}^2 : t \mapsto q(t)$  dans l'*espace des phases* de notre système des é.d.o's  $\mathbb{R}^2$  avec les coordonnées  $(x, y)$ . Soit<sup>12</sup>  $t_i = i\Delta_t$ ,  $q_i = q(t_i)$  et  $f_i = f(t_i, q_i)$ . Afin d'avancer (intégrer)  $q(t)$  en temps  $t$  selon l'équation  $\dot{q} = f(q)$ , on exploite la formule de *Leibnitz*  $q(t_i + dt) = q_i + d q_i$  à l'instant  $t = t_i$ ,  $i = 1, 2, 3, \dots$  où  $d q_i = f_i dt \approx f_i \Delta_t$  pour  $dt \approx \Delta_t$ . On effectue alors le *pas d'Euler*

$$q_{i+1} = q_i + f_i \Delta_t, \quad i = 0, 1, 2, \dots \quad (\text{TP-5.1a})$$

Cette simple méthode donne la précision est d'ordre  $O(\Delta t^2)$ , mais on observe aussi que les erreurs s'accumulent—ce qui est plus grave. Pour améliorer la *stabilité* par rapport à la trajectoire exacte, on modifie la procédure (TP-5.1a) de façon suivante

$$\begin{aligned} t_{i+1/2} &:= t_i + \frac{1}{2} \Delta_t, & q_{i+1/2} &:= q_i + \frac{1}{2} f_i \Delta_t, \\ f_{i+1/2} &:= f(t_{i+1/2}, q_{i+1/2}), & & \\ q_{i+1} &:= q_i + f_{i+1/2} \Delta_t, & i &= 0, 1, 2, \dots \end{aligned} \quad (\text{TP-5.1b})$$

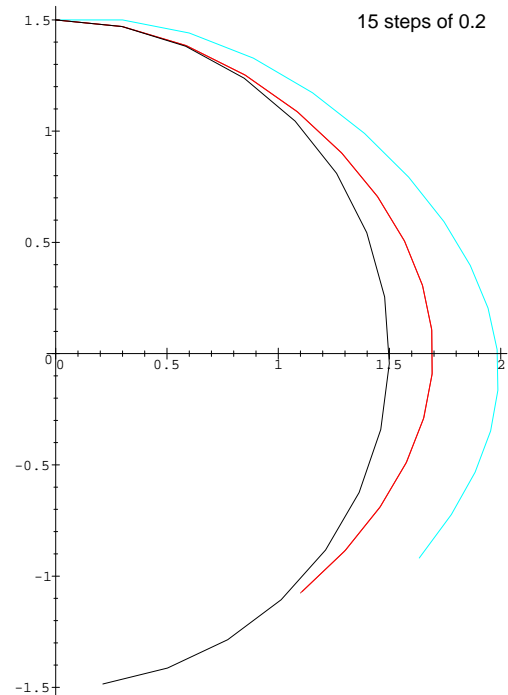
où la dérivée  $dq/dt$  pour le pas final est calculée «au milieu» de l'intervalle  $\Delta_t$ . La précision devient  $O(\Delta t^3)$  dans la méthode d'*Euler-Cauchy* (où effectue une ou plusieurs itérations optionnelles pour affiner la valeur  $\tilde{f}_{i+1}$  de  $f$  au point final)

$$\tilde{q}_{i+1} = q_i + f_i \Delta_t, \quad \underbrace{\tilde{f}_{i+1} = f_i(t_{i+1}, \tilde{q}_{i+1}), \quad q_{i+1} = q_i + \frac{f_i + \tilde{f}_{i+1}}{2} \Delta_t}_{\text{itération } \tilde{q}_{i+1} = q_{i+1}}, \quad i = 0, 1, 2, \dots \quad (\text{TP-5.1c})$$

Dans la figure ci-dessus, les courbes noire, cyan, orange et rouge, représentent, respectivement, l'approximation harmonique  $\sin x \approx x$  (cercle), la méthode d'Euler (TP-5.1a), la méthode d'Euler modifiée (TP-5.1b), et la méthode RK-4; les deux dernières étant très proches de la solution exacte.

**Choix de pas  $\Delta_t$**  On divise/multiplie  $\Delta_t$  par deux et on compare les résultats. Il faut choisir  $\Delta_t$  pour assurer le calcul à la fois précis et économe.

Phase space portrait for pendulum



<sup>12</sup>Dans notre exemple concret,  $f$  ne dépend pas de temps, i.e.,  $f(t, q) = f(q)$

## Texte du programme :

```

# TP on numerical integration of o.d.e. Maple 5.3 D.Sadovskii 2011-11-09
with(linalg):
with(plots):          # Maple V.3 general purpose graphics
odetype:='pendulum':  # use pendulum or Hpoly
plotsetup(ps,        # PostScript and options
  plotoutput='/tmp/TPRK4.ps', plotoptions='color,noborder,portrait');
# simple Euler's method (first order in tau)
Es_step := (f,u,t, tau) -> evalm( u + tau * f(u,t) );
# modified Euler's method (second order in tau)
Em_step := proc(f,u,t,tau) local k1,k2,k;
  k1 := tau * f(u,t);
  k2 := tau * f(evalm(u + k1/2), t+tau/2);
  k := [k1,k2];
  RETURN(evalm(u + k2));
end:
# fourth order Runge-Kutta method
RK_step := proc(f,u,t,tau) local k1,k2,k3,k4,k;
  k1 := tau * f(u,t);
  k2 := tau * f(evalm(u + k1/2), t+tau/2);
  k3 := tau * f(evalm(u + k2/2), t+tau/2);
  k4 := tau * f(evalm(u + k3), t+tau);
  k := map(evalm,[k1,k2,k3,k4]);
  RETURN(evalm(u + k1/6 + k2/3 + k3/3 + k4/6));
end:
# the driver routine which integrates o.d.e.'s using different methods
ode_trace := proc(step_fun, step_size, nstep:integer, ode_rhs, u0)
  local t,u,i,data;
  t := 0; u := u0;          # initial conditions
  data := array[0..nstep]; # resulting trajectory
  for i from 0 to nstep do
    data[i] := [t,convert(u,list)]; # store current point
    u := step_fun(ode_rhs, u, t, step_size);
    t := t+step_size;          # step forward in time
  od;
  RETURN(seq(data[i],i=0..nstep)); # return trajectory
end:
#-----
# Hamiltonian equations of motion for a mathematical pendulum
if odetype='pendulum' then
  Ham := p^2/2 - cos(q); # Hamiltonian for these equations of motion
  ode := (u,t) -> vector([u[2], -sin(u[1])]);
  init_cond := vector([0,1.5]); # initial conditions for t=0
  maxsteps:=15; # number of steps in time
  stepsize:=0.2; # time step size
fi;
#-----
data_Es := ode_trace(Es_step, stepsize, maxsteps, ode, init_cond);
data_Em := ode_trace(Em_step, stepsize, maxsteps, ode, init_cond);
data_RK := ode_trace(RK_step, stepsize, maxsteps, ode, init_cond);
# NB: for small q, the Hamiltonian approximates to q^2/2+p^2/2-1
if odetype='pendulum' then
  R0 := sqrt(2*(-cos(init_cond[1]) + init_cond[2]^2/2 + 1));
  data_H0 := op(map(v->[v[1],[R0*sin(v[1]),R0*cos(v[1])] ], [data_Es]));
fi;
#-----
xmax := max( op(map(v->v[2][1], [data_Es])) );
ymax := max( op(map(v->v[2][2], [data_Es])) );

```

**Méthode de Runge-Kutta (RK)** est la méthode à pas fixe la plus courante (typiquement en version RK-4 d'ordre 4) pour obtenir une trajectoire stable et précise dans la plupart des cas. La méthode RK- $k$  est basée sur les formules de l'extrapolation de *Legendre* donnant la précision  $O(\Delta_t^{k+1})$ , son pas  $i = 0, 1, 2, \dots$  est effectué de façon suivante

$$\begin{aligned}
 K_1^{(i)} &= \Delta_t f(t_i, q_i), \\
 K_2^{(i)} &= \Delta_t f(t_{i+1/2}, q_i + \frac{1}{2}K_1^{(i)}), \\
 K_3^{(i)} &= \Delta_t f(t_{i+1/2}, q_i + \frac{1}{2}K_2^{(i)}), \\
 K_4^{(i)} &= \Delta_t f(t_{i+1}, q_i + K_3^{(i)}),
 \end{aligned}
 \quad q_{i+1} = q_i + \frac{1}{6} \left( K_1^{(i)} + 2K_2^{(i)} + 2K_3^{(i)} + K_4^{(i)} \right) \quad (\text{TP-5.2})$$



**Présentation des résultats, graphisme** Faire les graphs sous Maple V. 3 est toujours longue ...

```

Es_color := cyan: Em_color := orange: RK_color := red: H0_color := white:
# plot trajectory versus time x(t) and y(t)
plotsetup(plotoutput='/tmp/TPRK4xt.ps'):
plots[display]( {seq( plot( map(v->[v[1],v[2][1]], [data_.F]), color=eval(cat(F,_color)) ),
                    F=[Es,Em,RK,H0])} );
plotsetup(plotoutput='/tmp/TPRK4yt.ps'):
plots[display]( {seq( plot( map(v->[v[1],v[2][2]], [data_.F]), color=eval(cat(F,_color)) ),
                    F=[Es,Em,RK,H0])} );
plotsetup(plotoutput='/tmp/TPRK4xyt.ps'):
plots[display]( 'union'(seq({ plot( map(v->[v[1],v[2][1]], [data_.F]), color=eval(cat(F,_color)) ),
                             plot( map(v->[v[1],v[2][2]], [data_.F]), color=eval(cat(F,_color)) )
                           },
                          F=[Es,Em,RK,H0]) ) );
# plot phase space trajectory (x(t),y(t))
plotsetup(plotoutput='/tmp/TPRK4xy.ps'):
plots[display]([
  textplot([xmax, ymax, cat('step=',convert(stepsize,string),' ',
                                     convert(maxsteps,string),' steps')],
           color=black,align=LEFT,
           seq( plot( map(v->[v[2][1],v[2][2]], [data_.F]), scaling=CONSTRAINED,
                     color=eval(cat(F,_color)) ),
               F=[Es,Em,RK,H0])
], title=cat('Phase space portrait for ',odetype),
  font=[HELVETICA,16],titlefont=[HELVETICA,18] );
# print out all trajectories
for i from 1 to nops([data_Es]) do
  printf(' %6.3f %8.3f %8.3f %8.3f %8.3f %8.3f %8.3f %8.3f \n' ,
         op(i,[data_Es])[1], seq( op(op(2,op(i,[data_.k])), k=[Es,Em,RK,H0]) ) );
od;

```

**Programme optionnel** Comme une option intéressante, on peut considérer les solutions de l'é.d.o d'ordre 2 définissant les polynômes d'Hermite  $H_n(t)$  d'ordre  $n$

$$\frac{d^2 H_n}{dt^2} - 2t \frac{dH_n}{dt} + 2n H_n(t) = 0, \quad \text{avec } q(t) := \left( \frac{H_n(t)}{dH_n(t)/dt} \right) \text{ et } f(t, q) := \left( \frac{q_2(t)}{2tq_2 - 2nq_1} \right)$$

```

# differential equation defining Hermite's polynomials
if odetype='Hpoly' then
  deq := (h,n) -> expand( diff(h(n,x),x,x) - 2*x*diff(h(n,x),x) + 2*n*h(n,x) ):
  n := 6; # choose order of the polynomial
  deq(orthopoly[H],n), orthopoly[H](n,x), diff( orthopoly[H](n,x), x);
  ode := (y,x) -> vector( [ y[2], 2*x*y[2] - 2*n*y[1] ]):
  init_cond := vector( subs(x=0,[orthopoly[H](n,x), diff( orthopoly[H](n,x), x)] ) );
  maxsteps:=15; stepsize:=0.08;
fi;

```

et par la suite on initialise la trajectoire exacte

```

# ok, compute the exact solution at the same points in time
if odetype='Hpoly' then
  data_H0 := op(map(v->[v[1], subs(x=v[1], [orthopoly[H](n,x), diff( orthopoly[H](n,x), x)] ) ],
                  [data_Es]));
fi;

```



## TP-6 Transformation de Fourier discrète

**But de TP.** Écrire et tester une procédure en langage Maple V.3 permettant de transformer une fonction  $g(x)$  définie par un tableau  $g(x_1), g(x_2), \dots$  sur une grille des points équidistants  $x_1, x_2, \dots$  vers un tableau des amplitudes du spectre Fourier, ainsi que la procédure de la transformation inverse (tableau des amplitudes vers tableau des valeurs de  $g(x)$ ). Faire le graphe de  $g(x)$  à partir du tableau donné et à partir des fréquences trouvées. Sur le même graphe, tracer l'approximation obtenue avec les hautes fréquences «coupées» ou atténuées.

**Notions de base.** On considère la fonction  $g(x)$  échantillonnée pour des valeurs équidistantes de  $x$  telles que

$$x_k = k\Delta, \quad g_k = g(x_k), \quad \text{où } k = 0, 1, 2, \dots, N-1.$$

Ici  $\Delta$  est l'intervalle d'échantillonnage. Notez qu'on appelle  $\Delta^{-1}$  le *taux d'échantillonnage*. On définit aussi la *fréquence critique de Nyquist*

$$f_c = \frac{1}{2\Delta} \quad (\text{TP-6.1})$$

Si la fonction  $g(x)$  est échantillonnée avec un taux de  $\Delta^{-1}$ , son spectre Fourier  $h(f)$  est limité par la bande passante  $|f| < f_c$ . Donc si les amplitudes  $h(f)$  dans le vrais spectre de  $g(x)$  sont nulles pour tous  $|f| \geq f_c$ , ce spectre est entièrement défini par un nombre fini des échantillons  $g_k$ . Ce qui est tout à fait remarquable.

Le spectre  $h(f)$  est lui aussi discret. Pour  $N$  points  $g_k$  nous devons évidemment pouvoir obtenir  $N$  amplitudes dans ce spectre. En effet, les amplitudes  $h_n$  sont définies pour les fréquences  $f_n$  discrètes telles que

$$f_n = \frac{n}{N\Delta}, \quad h_n = \Delta h(f_n) \quad \text{où } n = -\frac{N}{2}, \dots, \frac{N}{2}, \quad \text{et } h_{-\frac{N}{2}} \equiv h_{\frac{N}{2}} = 2\Delta h(f_c). \quad (\text{TP-6.2})$$

Notez que les valeurs extrêmes des fréquences sont  $\pm f_c$ , et que grâce à la dernière condition (à démontrer plus tard) nous avons précisément  $N$  amplitudes  $h_n$  indépendantes. (Facteur de 2 à ne pas oublier !)

L'expression pour la transformation Fourier discrète direct est obtenue par la discretisation de l'intégrale Fourier

$$h(f) = \int_{-\infty}^{\infty} g(x) \exp(2\pi i f x) dt \quad \Rightarrow \quad h(f_n) = \sum_{k=0}^{N-1} g_k \exp(2\pi i f_n x_k) \Delta = \Delta \sum_{k=0}^{N-1} g_k \exp\left(\frac{2\pi i}{N} kn\right). \quad (\text{TP-6.3})$$

Ainsi cette transformation donne  $N$  nombres

$$h_n = \sum_{k=0}^{N-1} g_k \exp\left(\frac{2\pi i}{N} kn\right) \quad (\text{TP-6.4})$$

indépendants de l'échelle  $\Delta$  de l'échantillonnage. Notez que  $h_n$  est périodique en  $n$  avec la période  $N$  et que en particulier  $h_{-n} = h_{N-n}$ . Par conséquent, au lieu de considérer l'indice  $n$  dans l'intervalle  $[-\frac{N}{2}, \dots, \frac{N}{2}]$  comme nous avons fait auparavant, il est possible et pratique d'utiliser  $n = 0, \dots, N-1$  comme nous avons fait pour  $k$ . En adhérant à une telle convention, il faut se rappeler de la correspondance suivante

$$\begin{array}{ll} n = 0 & f = 0 \\ 1 \leq n \leq \frac{1}{2}N - 1 & 0 < f < f_c \\ n = \frac{N}{2} & f = \pm f_c \\ \frac{1}{2}N + 1 \leq n \leq N - 1 & -f_c < f < 0 \end{array}$$

Enfin la transformation inverse  $\{h_n\} \rightarrow \{g_k\}$  est

$$g_k = \frac{1}{N} \sum_{n=0}^{N-1} h_n \exp\left(-\frac{2\pi i}{N} kn\right) \quad (\text{TP-6.5})$$

Notez que le calcul de  $h_n$  et  $g_k$  peut être effectué par le même programme. Il nous reste à expliquer comment reconstruire la fonction  $g(x)$  à partir des amplitudes  $\{h_n\}$ . On utilise (TP-6.5) :

$$g_k = g(x_k) = \frac{1}{N} \sum_{n=0}^{N-1} h_n \exp\left(-\frac{2\pi i n}{N\Delta} x_k\right) = \frac{1}{N} \sum_{n=0}^{N-1} h_n \exp(-2\pi i f_n x_k),$$

où les fréquences  $f_n$  sont données par (TP-6.2). Par conséquent,

$$g(x) \approx \frac{1}{N} \sum_{n=0}^{N-1} h_n \exp(-2\pi i f_n x).$$

Si cette fonction reconstruite fait trop des oscillations d'hautes fréquences on pourrait les atténuer ou tout simplement couper en utilisant une fréquence de coupure  $f_n$  avec  $n_{\max} \ll N$ .

**Quelques conseils de programmation en Maple V. 3.** Regardez la section correspondante du TP précédent pour des informations générales. Commencez la procédure de la transformation directe de la façon suivante

```
with(linalg);
dDFT := proc(g:vector)
  local N,n,h, ... ;
  N := vectdim(g);
  h := vector(N);

  . . .

  RETURN(evalm(h));
end;
```

et utilisez (TP-6.4) pour remplir les entrées  $h[n]$  de vecteur  $h$ . La procédure  $iDFT$  de la transformation inverse s'écrit de même façon et traduisez (TP-6.5).

Pour tester vos procédures prenez un vecteur de  $N = 8$  (ou 16, ou 32 etc) points, par exemple

```
g := vector([1,2,3,1,5,7,6,4]);
N := vectdim(g);
h := dDFT(g);
s := iDFT(h);
```

vous pouvez comparer  $s$  et  $g$ . Pour visualiser la fonction  $g$  et son spectre  $h$ , assumez que  $\Delta = 1$  et utilisez la commande `plot` de façon suivante

```
plot( zip((a,b)->[a,b], [$1..N], convert(g,list)) );
```

Pour en faire le graphe de  $g$  ensemble avec la fonction  $g(x)$  reconstruite comme une expression `gfun` selon (TP-6.5)

```
plots[display]([
  plot( zip((a,b)->[a,b], [$1..N], convert(g,list)) ) ,
  plot( gfun(x), x=0..N )
], title='original and reconstructed functions');
```

Enfin, pour un teste ultime, appelez la procédure `FFT` de Maple V. 3.

```
readlib(FFT): # Fast Fourier Transform library
g1 := map(evalf,map(Re,g)): # real part of g(x)
g2 := map(evalf,map(Im,g)): # imaginary part
i := FFT(3,g1,g2);
```

Notez que ici 3 (le premier argument) est le  $\log_2 N$  pour  $N = 8$  et que `g2` représente à l'entrée la partie imaginaire de  $g(x)$ , tandis que en retour `g1` et `g2` contiennent les parties réelles et imaginaires des amplitudes  $h_n$  (donc les valeurs originales de `g1` seront perdues). Comparez les avec vos résultats dans  $h$ .

**Questions.** Quelle est la fréquence de Nyquist dans votre exemple ? Expliquer le choix de la fréquence de coupure. Les valeurs  $h_n$  sont ils réelles ? Pourquoi ? Démontrez que votre fonction `gfun` est réelle.

**Texte du programme :**

```

# direct/inverse discrete Fourier transform (DFT) (c) 2006 Sadovskii
with(linalg);
readlib(FFT):          # Fast Fourier Transform library

dDFT := proc(g:vector)      # direct transform
  local k,n,N,h,s;
  N := vectdim(g);
  h := vector(N);
  for n from 0 to N-1 do
    s := 0;
    for k from 0 to N-1 do
      s := s+g[k+1]*exp(2*Pi*I/N*k*n)
    od;
    h[n+1]:=s;
  od;
  RETURN(evalm(h));
end:

Fn := proc(n,N)
  if n=0 then RETURN(0);
  elif n>0 and n<N/2 then RETURN(n/N);
  elif n>N/2 and n<N then RETURN(n/N-1);
  else RETURN(n/N);
  fi;
end:

# testing the procedures
g := vector([1,2,3,1,5,7,6,4]);
N := vectdim(g);
h := dDFT(g);

# reconstruction of g(x)
gfun := 0;
for n from 0 to N/2-1 do
  gfun := gfun + h[n+1]*exp(-2*Pi*I*(n/N)*x);
od;
for n from N/2+1 to N-1 do
  gfun := gfun + h[n+1]*exp(-2*Pi*I*(n/N-1)*x);
od;
gfun := gfun + h[N/2+1]*( exp(-2*Pi*I*(1/2)*x) + exp(2*Pi*I*(1/2)*x) )/2;
gfun := combine(evalc(gfun / N),trig);

g1 := copy(g):          # real part of g(x)
g2 := vector([0$N]):    # imaginary part $

FFT(3,g1,g2);          # transform and compare
print(g1); evalf(map(Re,h));
print(g2); evalf(map(Im,h));

plotsetup(ps,plotoutput='/tmp/FT.ps',plotoptions='color,noborder'); # ,portrait

plots[display]([
  plot( zip((a,b)->[a,b], [$0..N-1], convert(g,list)), style=POINT, symbol=CIRCLE, color=red, thic
  plot(gfun,x=0..N,color=blue, thickness=2)
  ],
  font=[HELVETICA,18],
  axesfont=[HELVETICA,18],
  labelfont=[HELVETICA,BOLD,22],
  titlefont=[HELVETICA,BOLD,24],
  title='Fourier transform of discrete data'
]);

```

